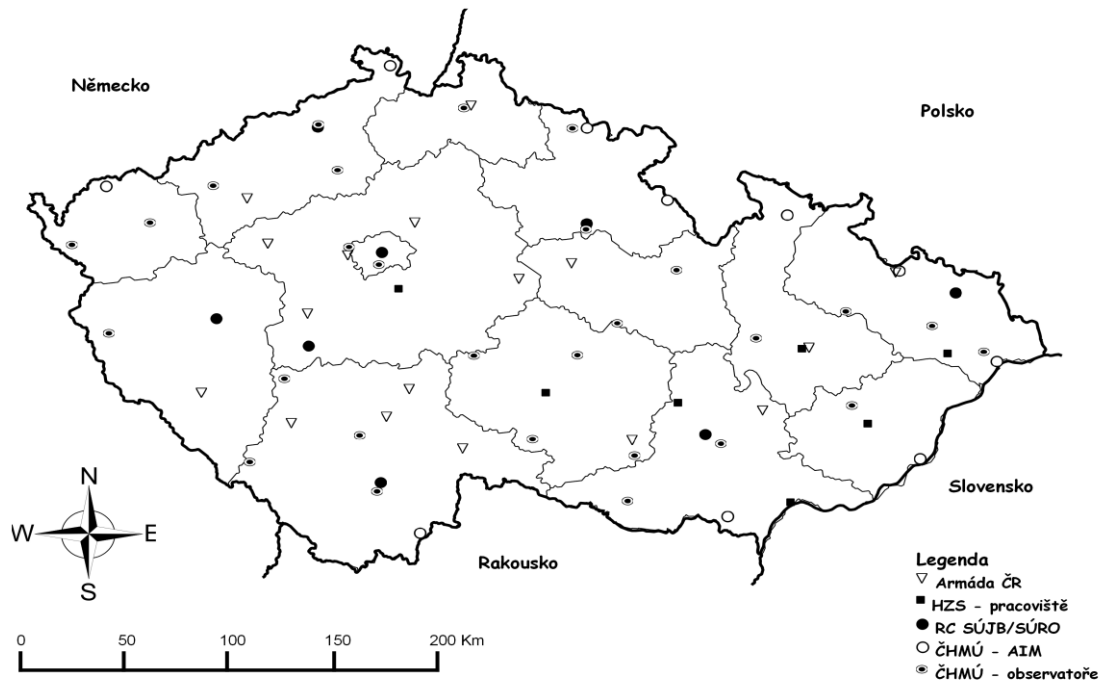
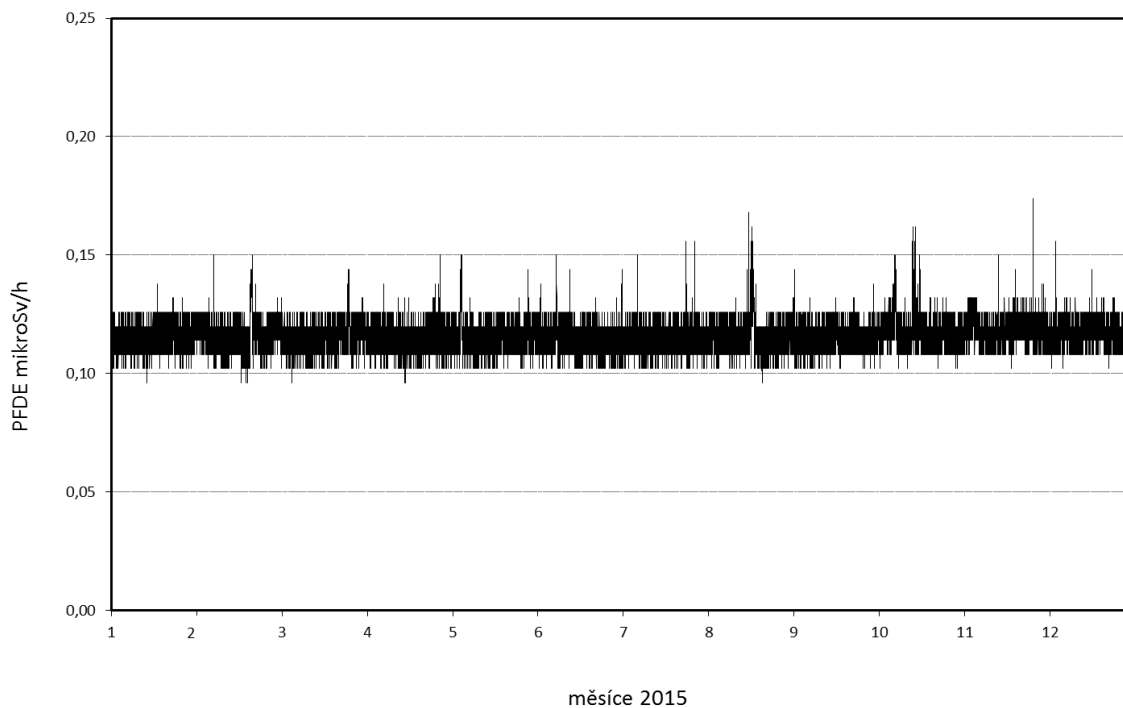


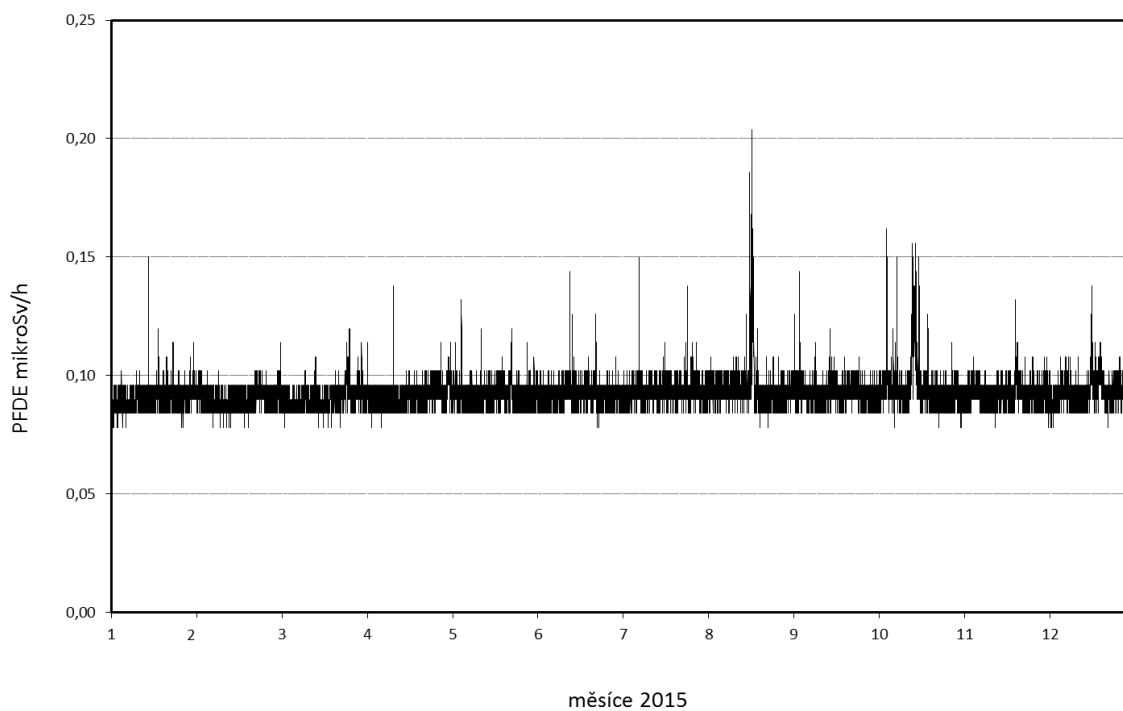
PŘÍLOHA Č. 2



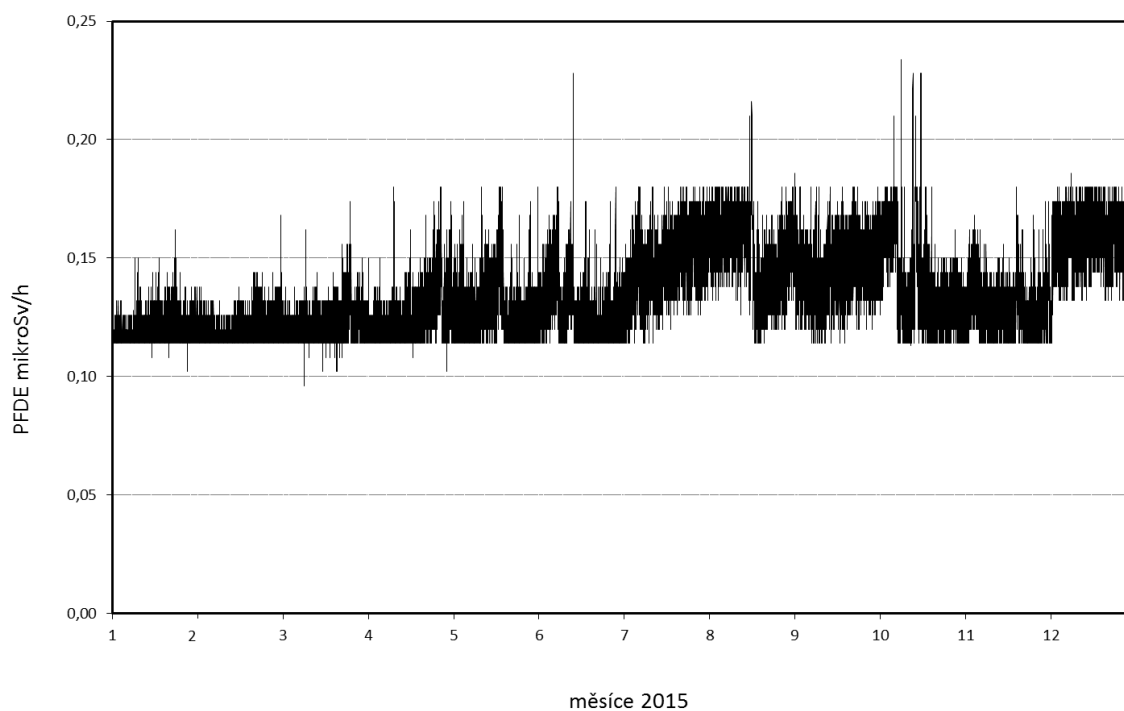
Obr. 1 Síť včasného zjištění RMS ČR



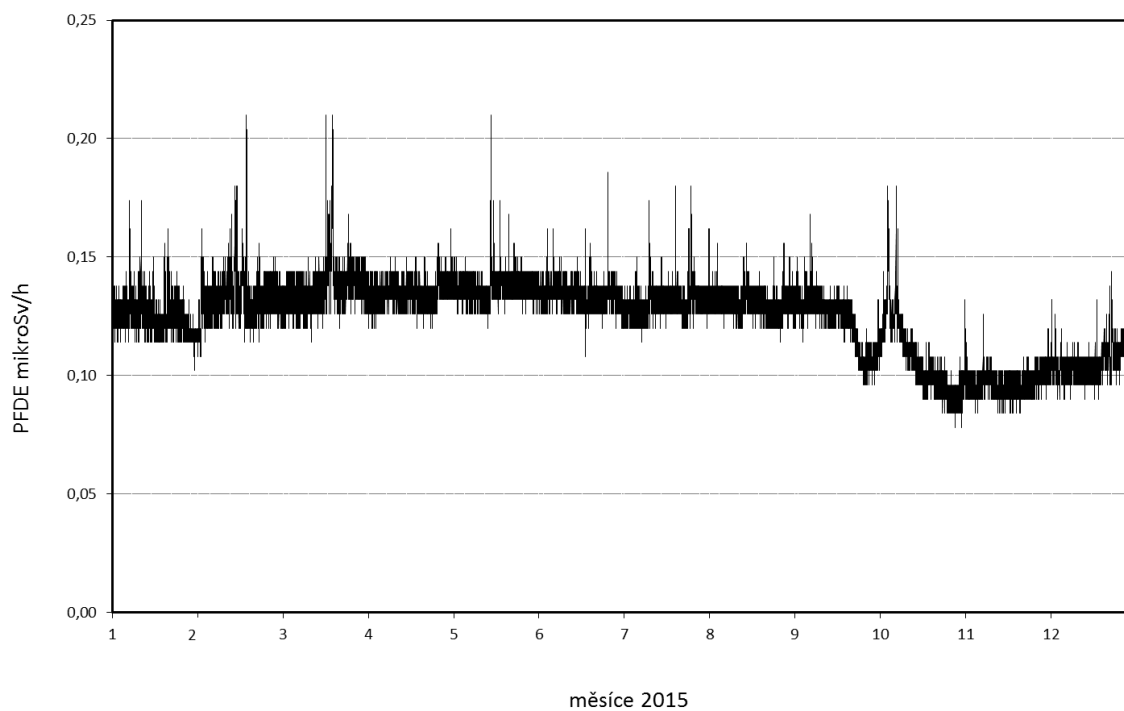
Obr. 2a Příkon fotonového dávkového ekvivalentu (PFDE) - SVZ SÚRO Praha (měřicí místo resort SÚJB)



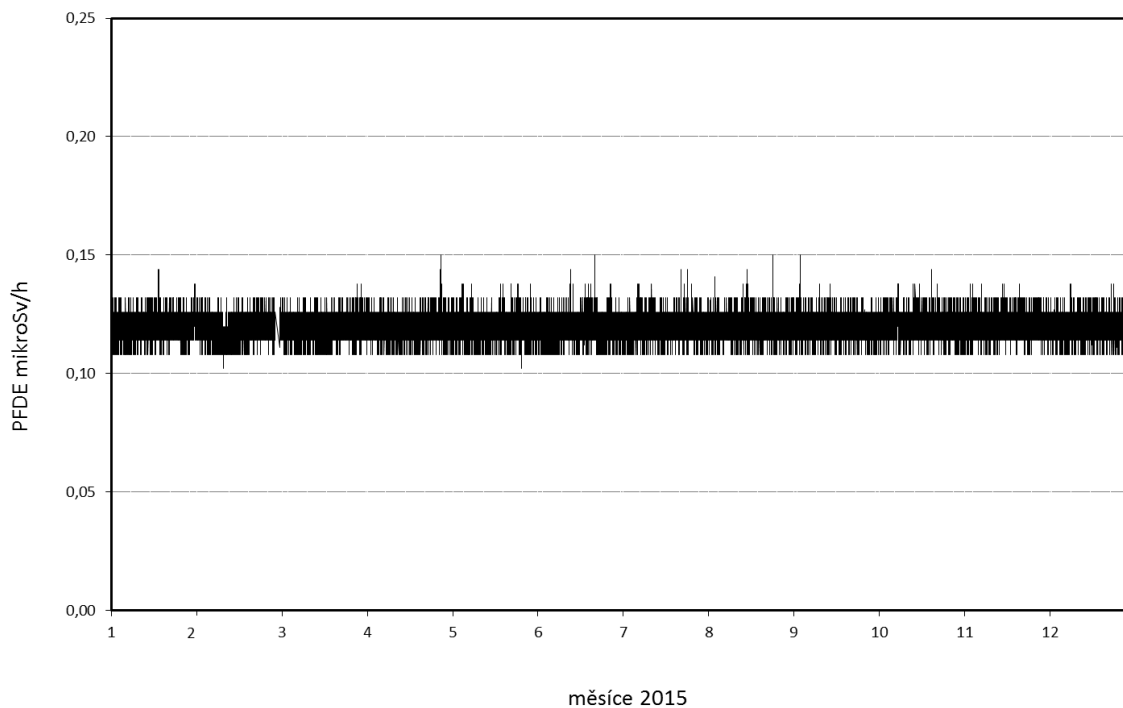
Obr. 2b Příkon fotonového dávkového ekvivalentu (PFDE) - SVZ Dukovany (měřicí místo ČHMÚ)



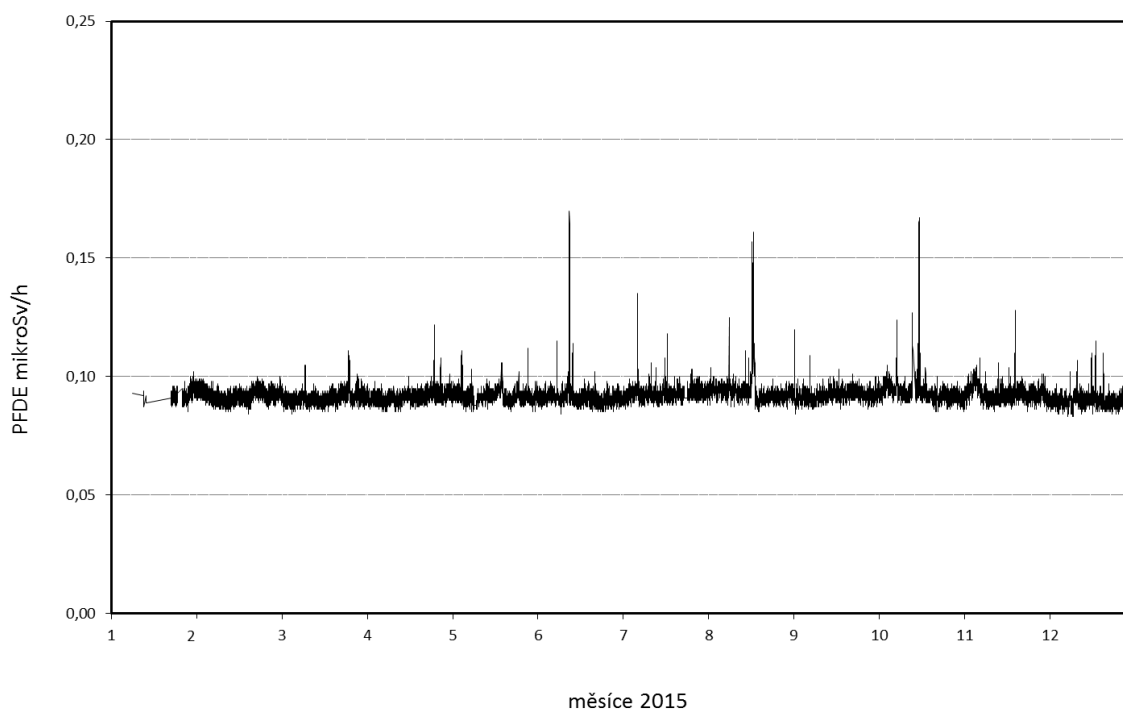
Obr. 2c Příkon fotonového dávkového ekvivalentu (PFDE) - SVZ Temelín (měřicí místo ČHMÚ)



Obr. 2d Příkon fotonového dávkového ekvivalentu (PFDE) - SVZ Pec pod Sněžkou (měřicí místo ČHMÚ)

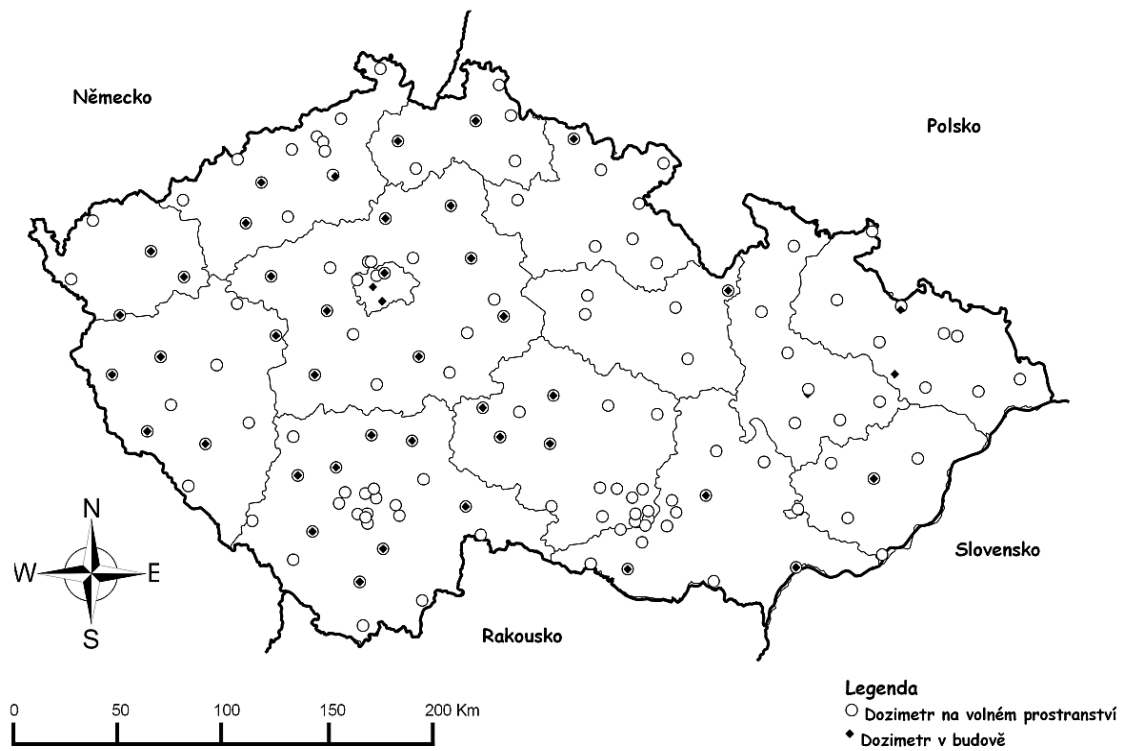


Obr. 2e Příkon fotonového dávkového ekvivalentu (PFDE) - SVZ Ostrava (měřicí místo RC SÚJB)

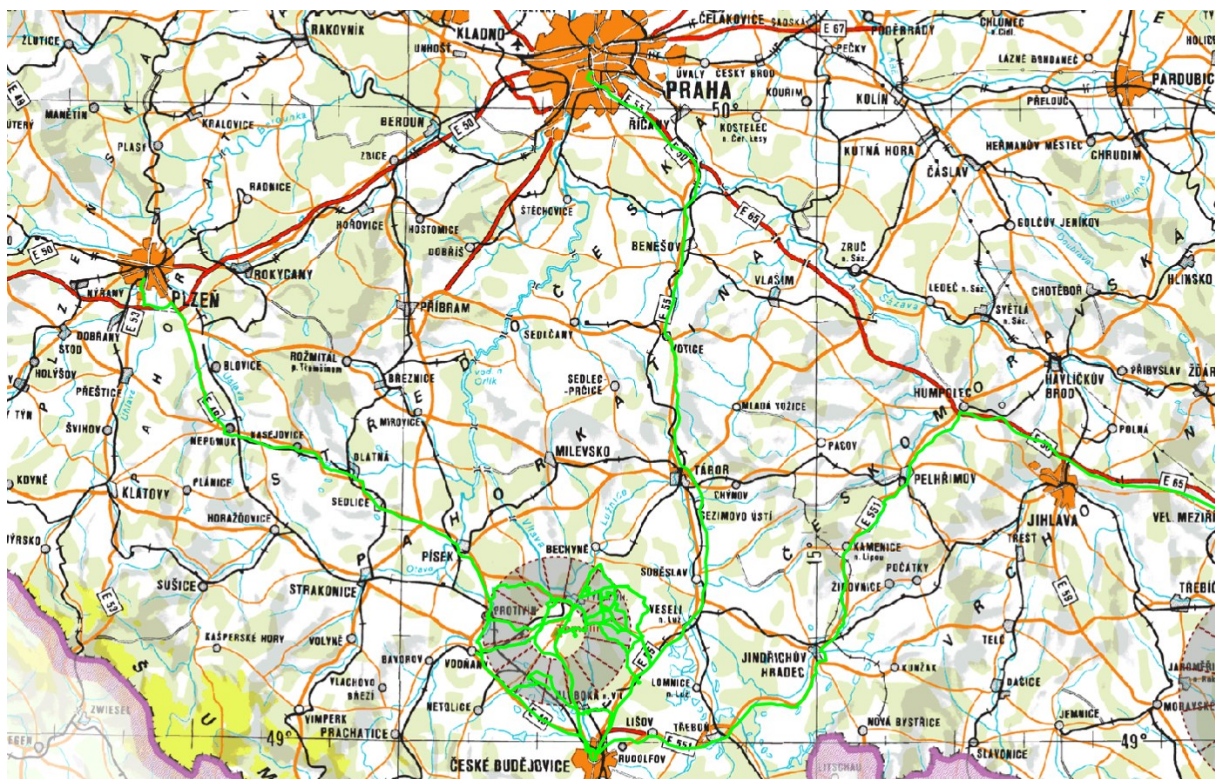


Poznámka: Výpadek dat AČR v lednu 2015, kdy naměřená data do MonRaS nepřicházela, byl způsoben technickou závadou na straně AČR.

Obr. 2f Příkon prostorového dávkového ekvivalentu (PPDE) - SVZ Pardubice (měřicí místo AČR).

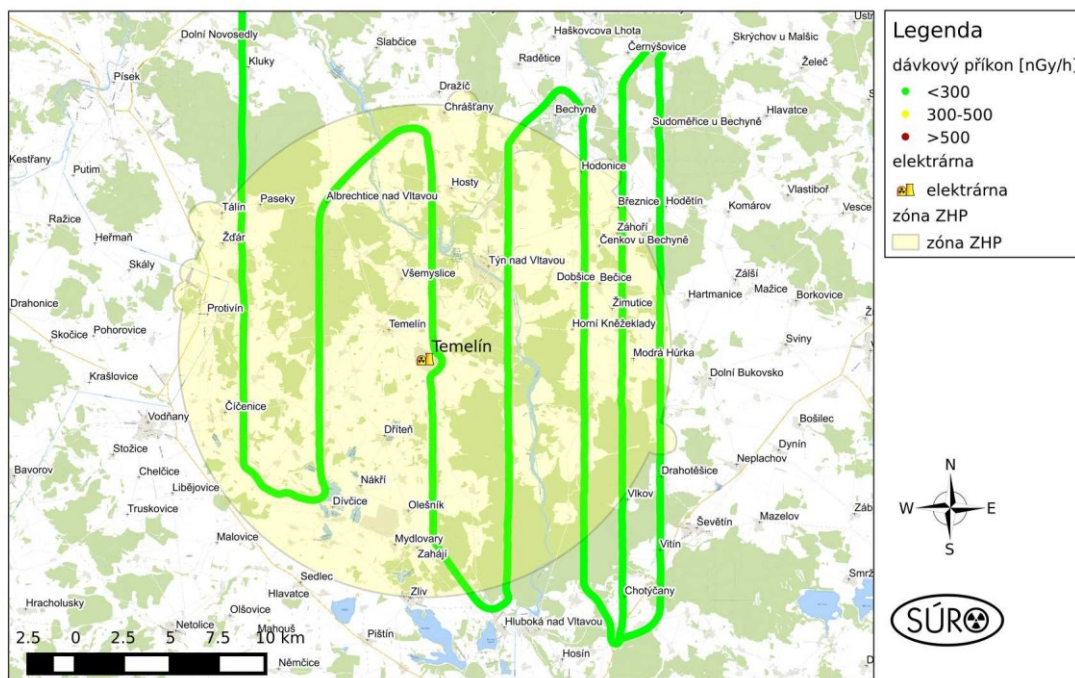


Obr. 3 Teritoriální a lokální síť TLD

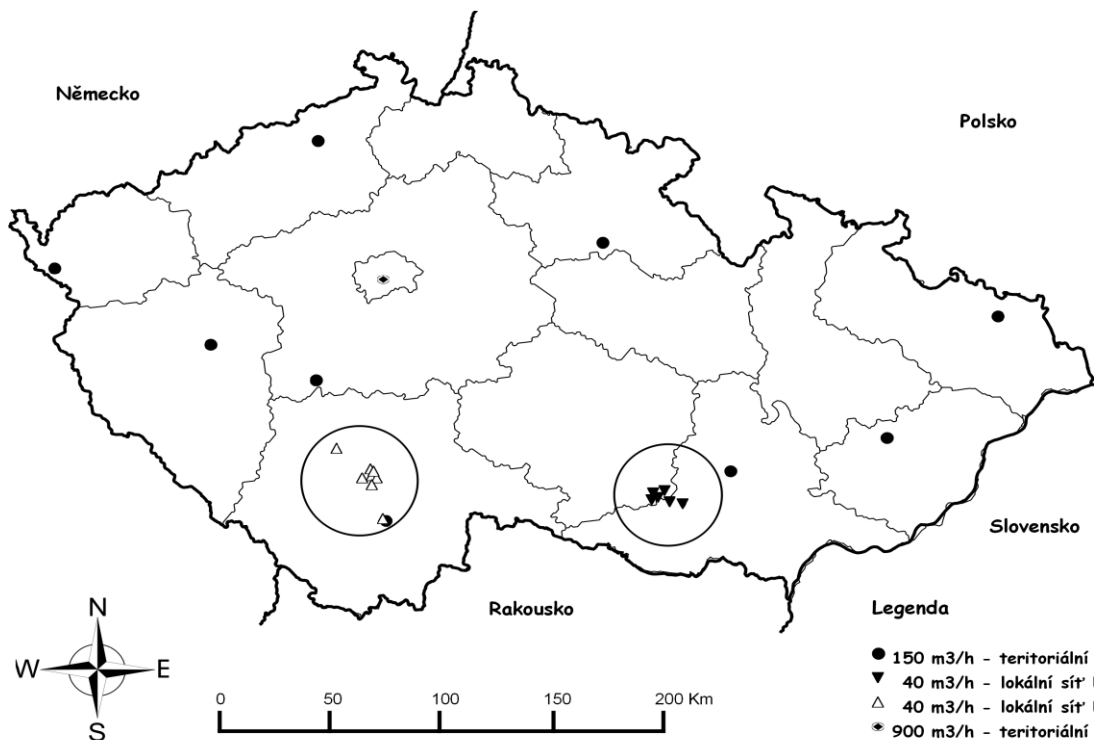


Obr. 4 Měření dávkového příkonu po trasách pojezdu jednotlivých mobilních skupin při cvičení ZÓNA 2015.

Letecká skupina SÚRO - 23.9. 2015 - ZÓNA 2015 - Temelín - IRIS - dávkový příkon

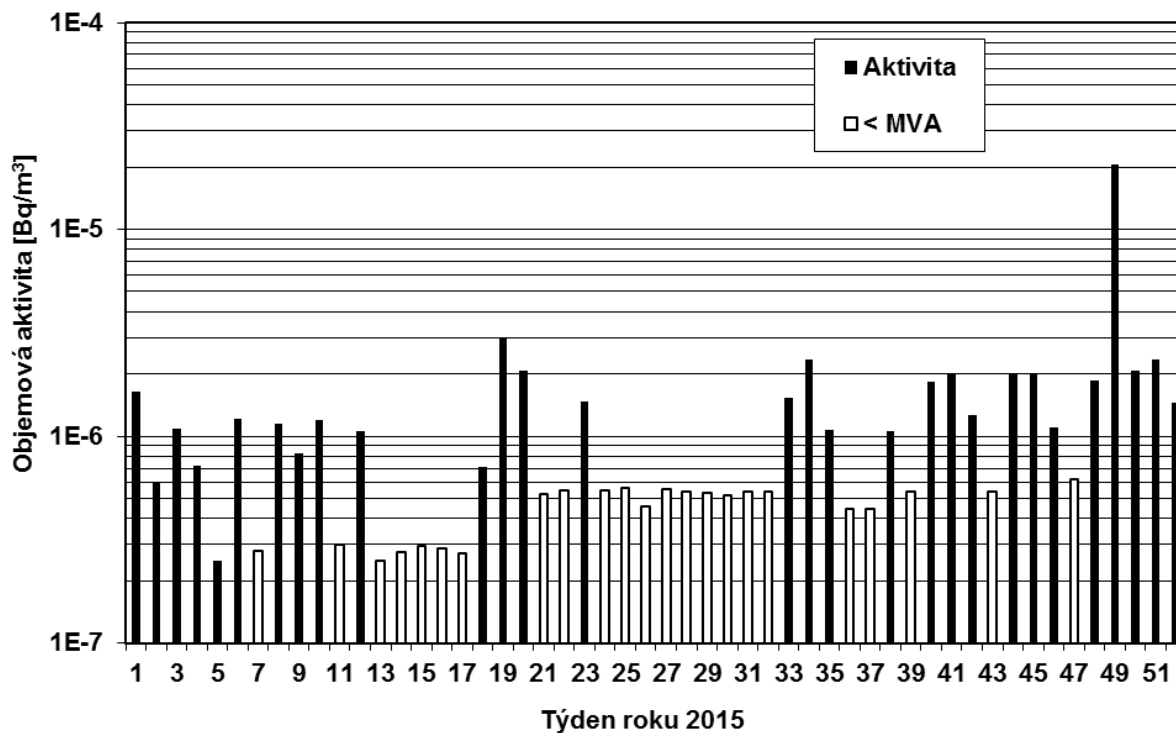


Obr. 5 Výsledky leteckého monitorování v okolí jaderné elektrárny Temelín při cvičení ZÓNA 2015.



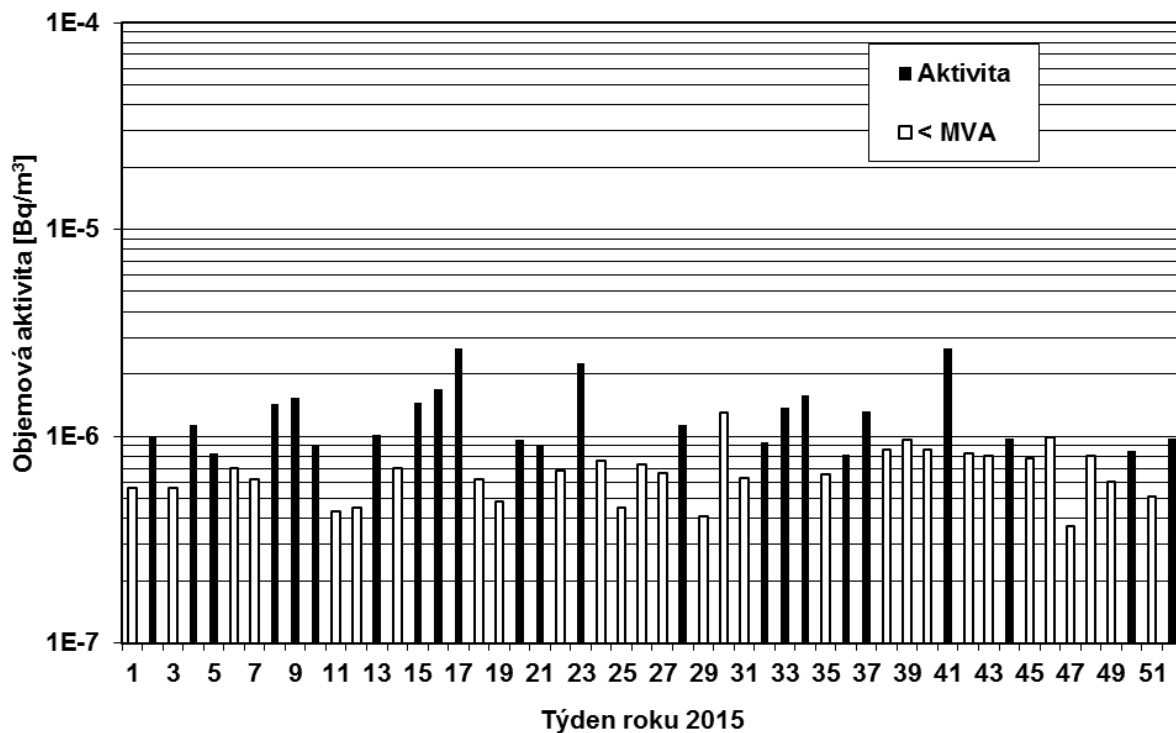
Poznámka: Kružnice v okolí JE neznázorňují ZHP, pouze opticky zvýrazňují lokální síť.

Obr. 6 Mapa rozmístění zařízení pro odběr aerosolu

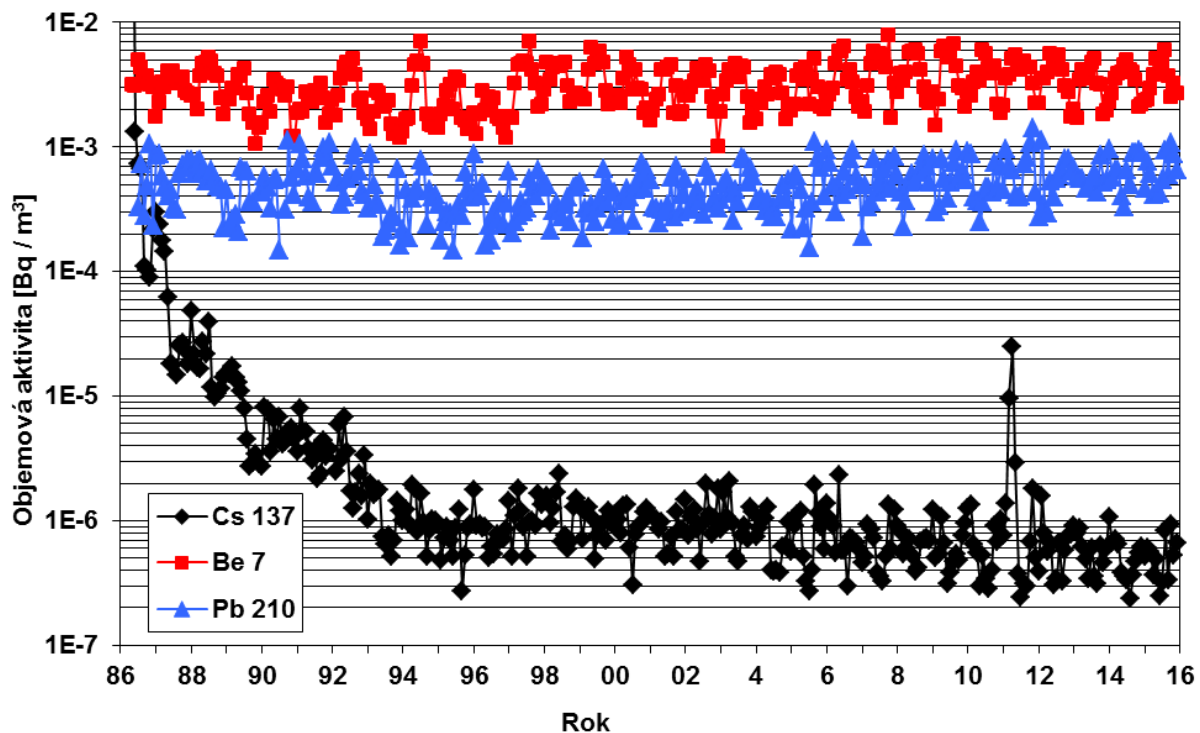


Poznámka: Zvýšená hodnota aktivity ^{137}Cs v týdnu od 1. 12. – 8. 12. 2015 nebyla objasněna. Podrobněji viz text zprávy (kapitola 1.3.1.1)

Obr. 7a Objemová aktivita ^{137}Cs v aerosolu v ovzduší v roce 2015 – MMKO České Budějovice (vzorkování a měření RC SÚJB České Budějovice)

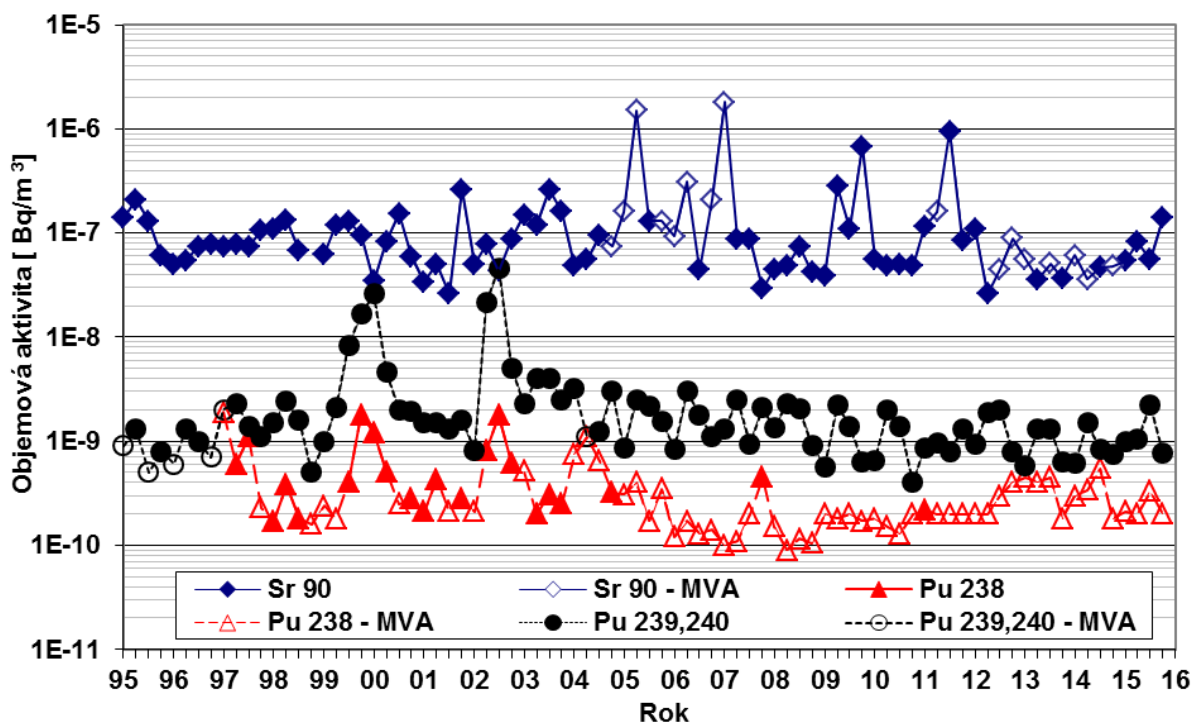


Obr. 7b Objemová aktivita ^{137}Cs v aerosolu v ovzduší v roce 2015 – MMKO Hradec Králové (vzorkování a měření SÚRO Hradec Králové)

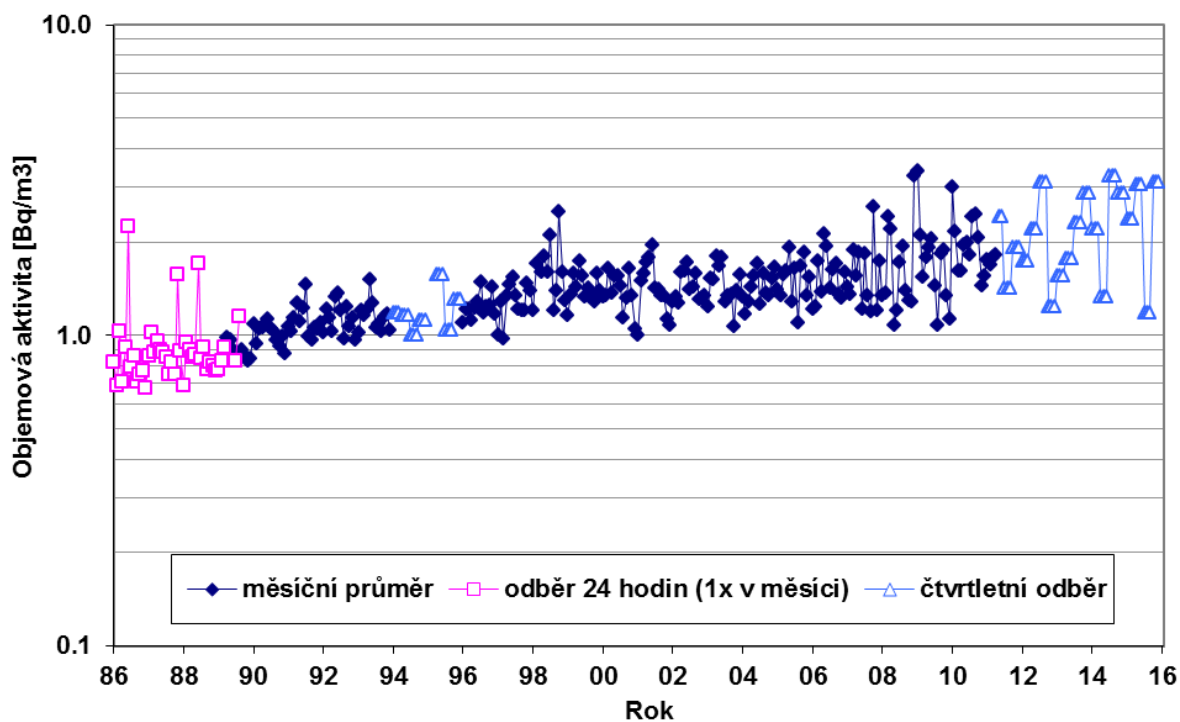


Poznámka: Zvýšené hodnoty v roce 2011 byly naměřeny po havárii JE Fukušima.

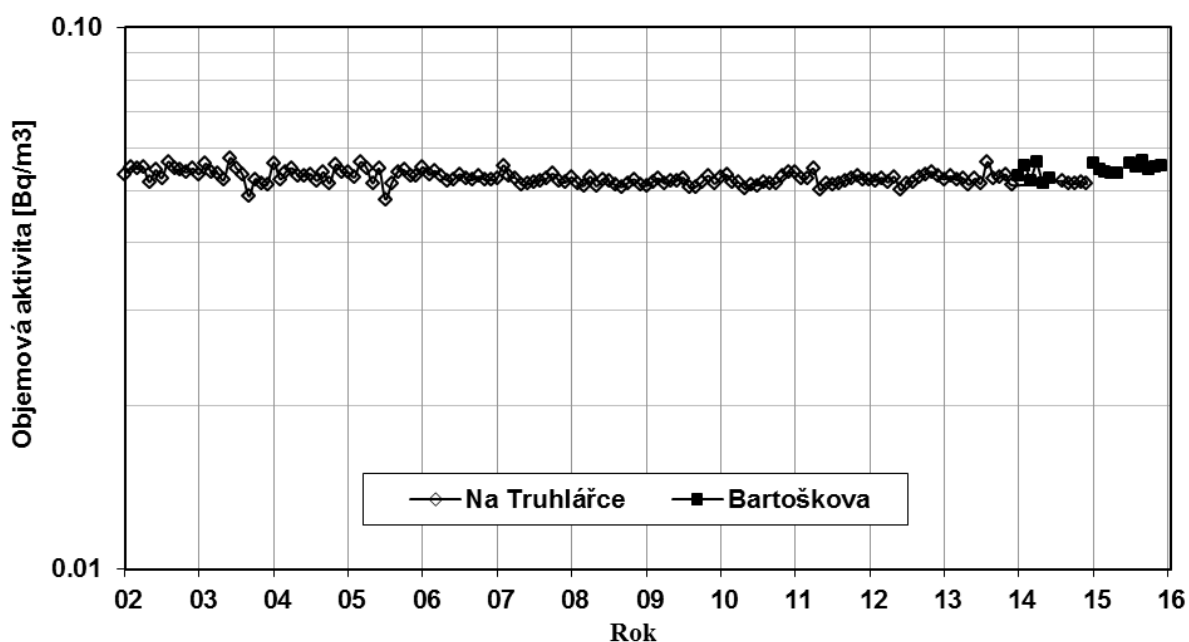
Obr. 8a Objemová aktivita vybraných radionuklidů v aerosolu v ovzduší, měsíční průměry od roku 1986 – MMKO Praha (vzorkování a měření SÚRO Praha)



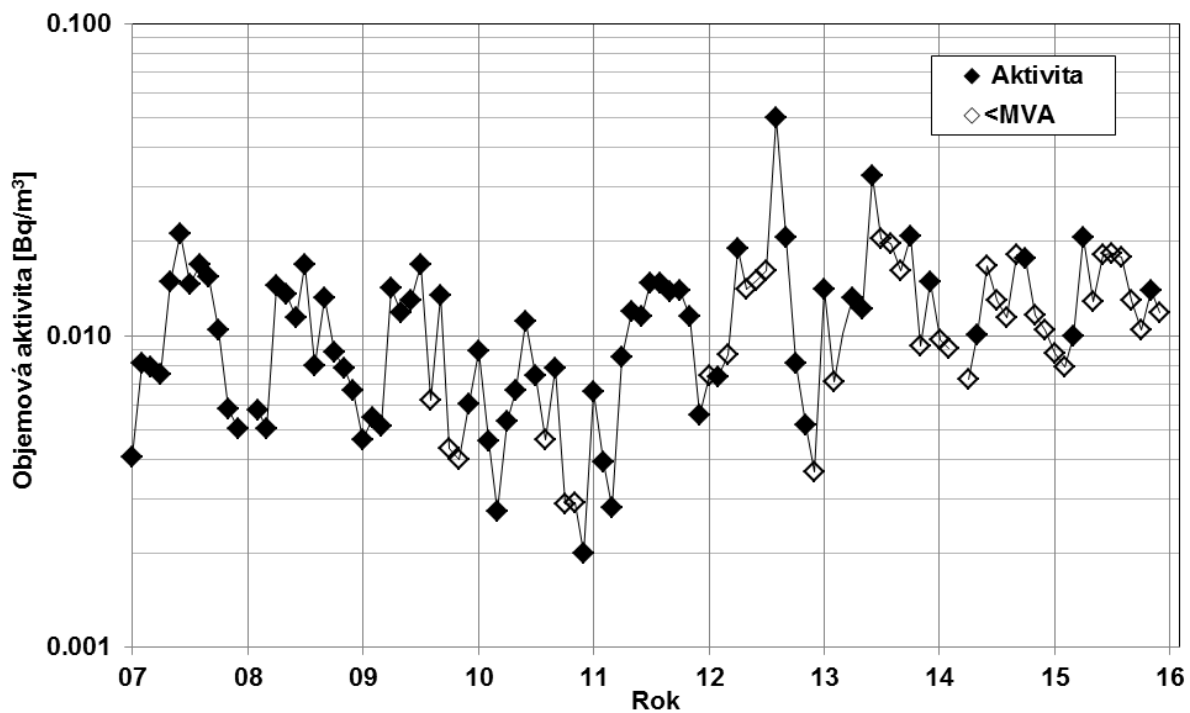
Obr. 8b Objemová aktivita ⁹⁰Sr, ²³⁸Pu, ^{239,240}Pu v aerosolu v ovzduší od roku 1995 – MMKO Praha (vzorkování a měření SÚRO Praha)



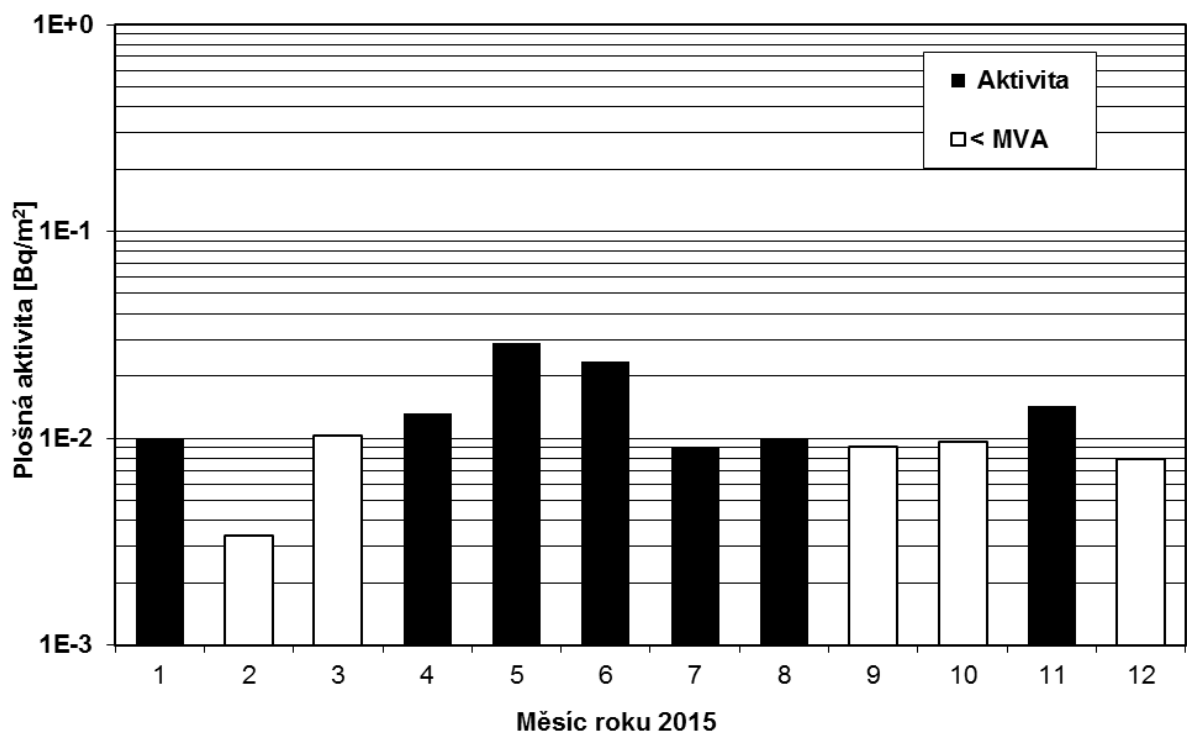
Obr. 9a Objemová aktivita ⁸⁵Kr v ovzduší – MMKO Praha (vzorkování a měření ODZ ÚJF AV ČR)



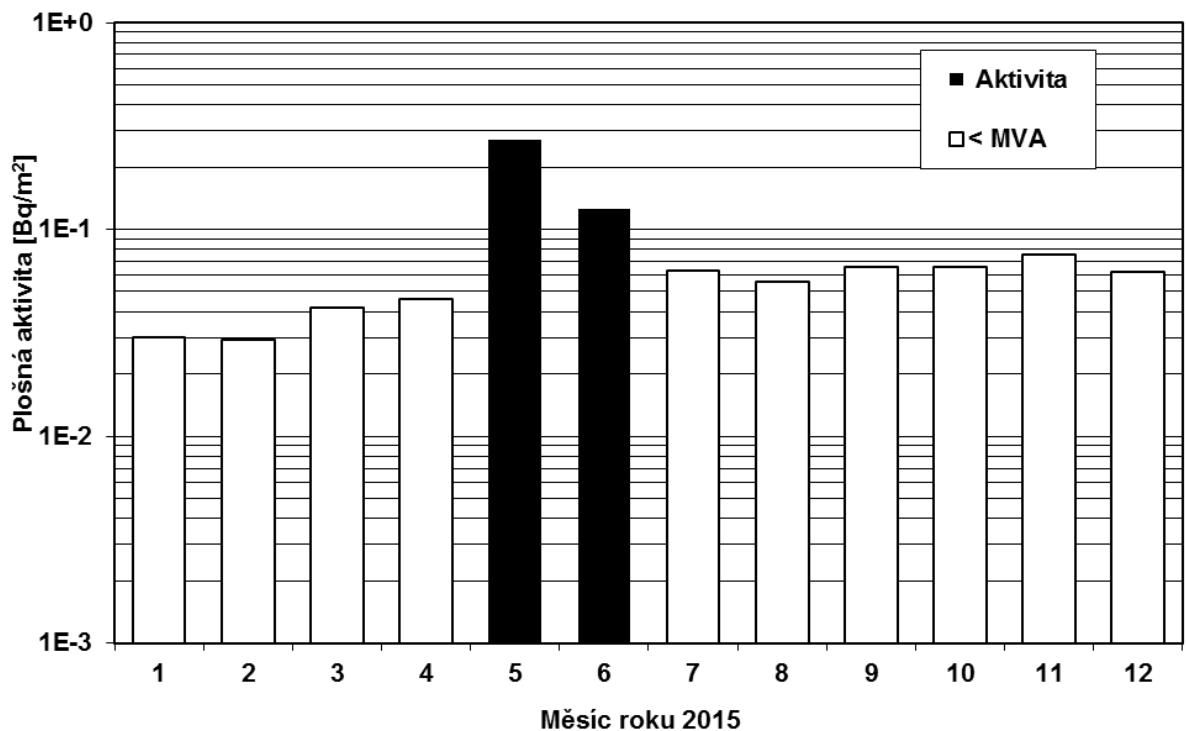
Obr. 9b Objemová aktivita ¹⁴C v ovzduší ve formě CO₂, měsíční průměry – MMKO Praha – (do 2013 vzorkování a měření ODZ ÚJF AV, od 2014 vzorkování a měření i SÚRO Praha)



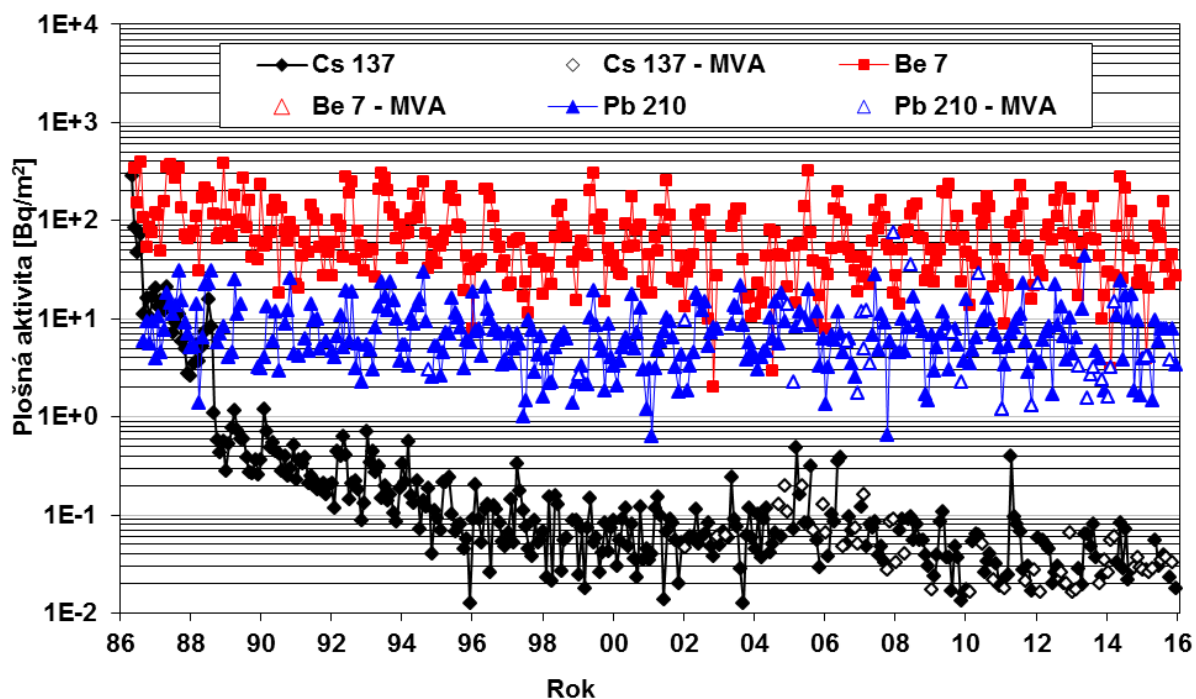
Obr. 9c Objemová aktivita ^3H ve formě HTO v ovzduší, měsíční odběry – MMKO Praha (vzorkování a měření SÚRO Praha)



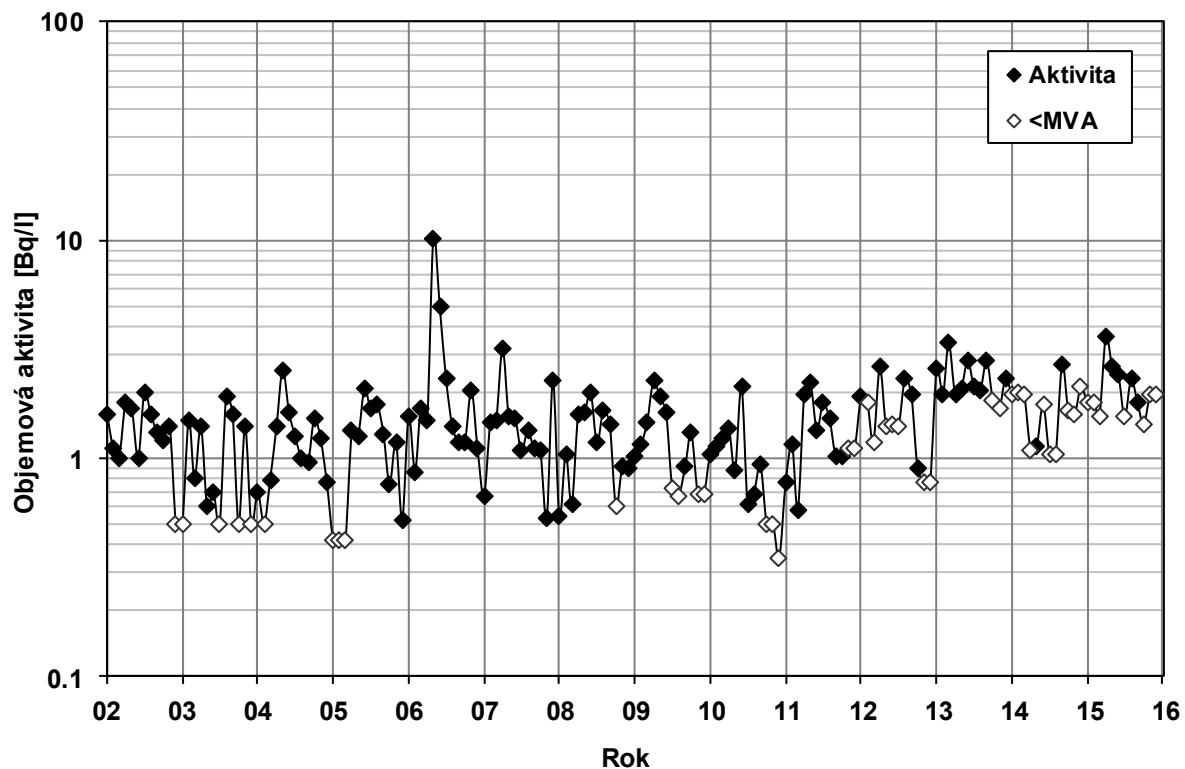
Obr. 10a Plošná aktivita ^{137}Cs ve spadech v roce 2015, měsíční hodnoty – MMKO Kamenná (vzorkování MMKO Kamenná, měření SÚRO Praha)



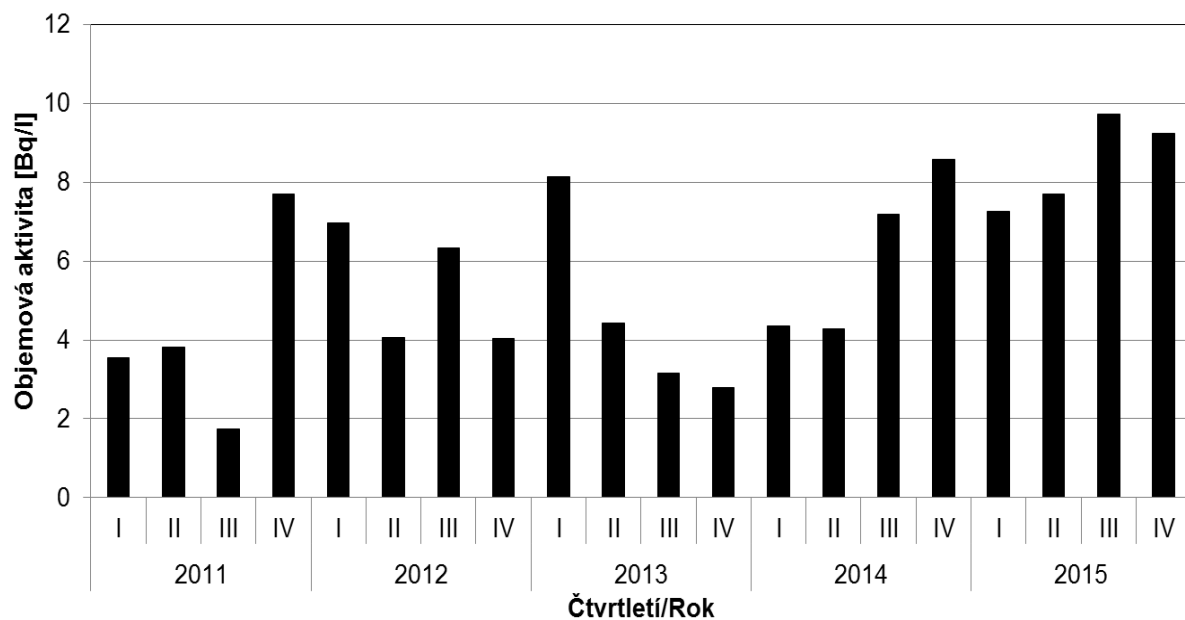
Obr. 10b Plošná aktivita ¹³⁷Cs ve spadech v roce 2015, měsíční hodnoty – MMKO České Budějovice (vzorkování a měření RC SÚJB České Budějovice)



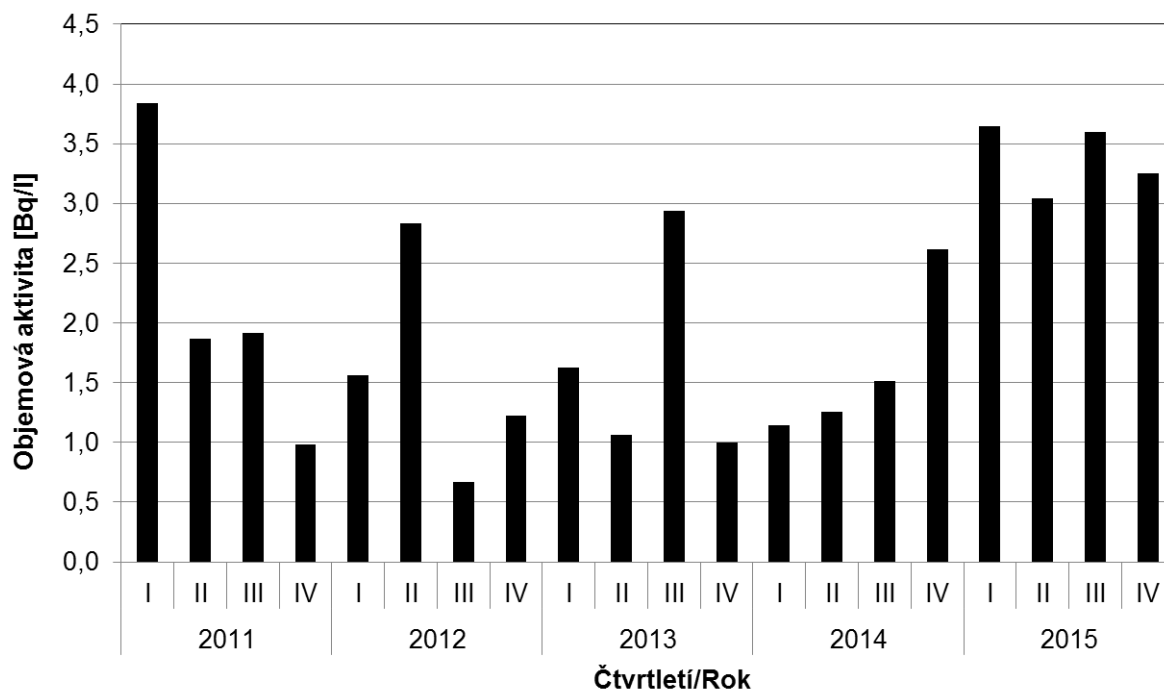
Obr. 11a Plošná aktivita vybraných radionuklidů ve spadech, měsíční hodnoty, od roku 1986 – MMKO Praha (vzorkování a měření SÚRO Praha)



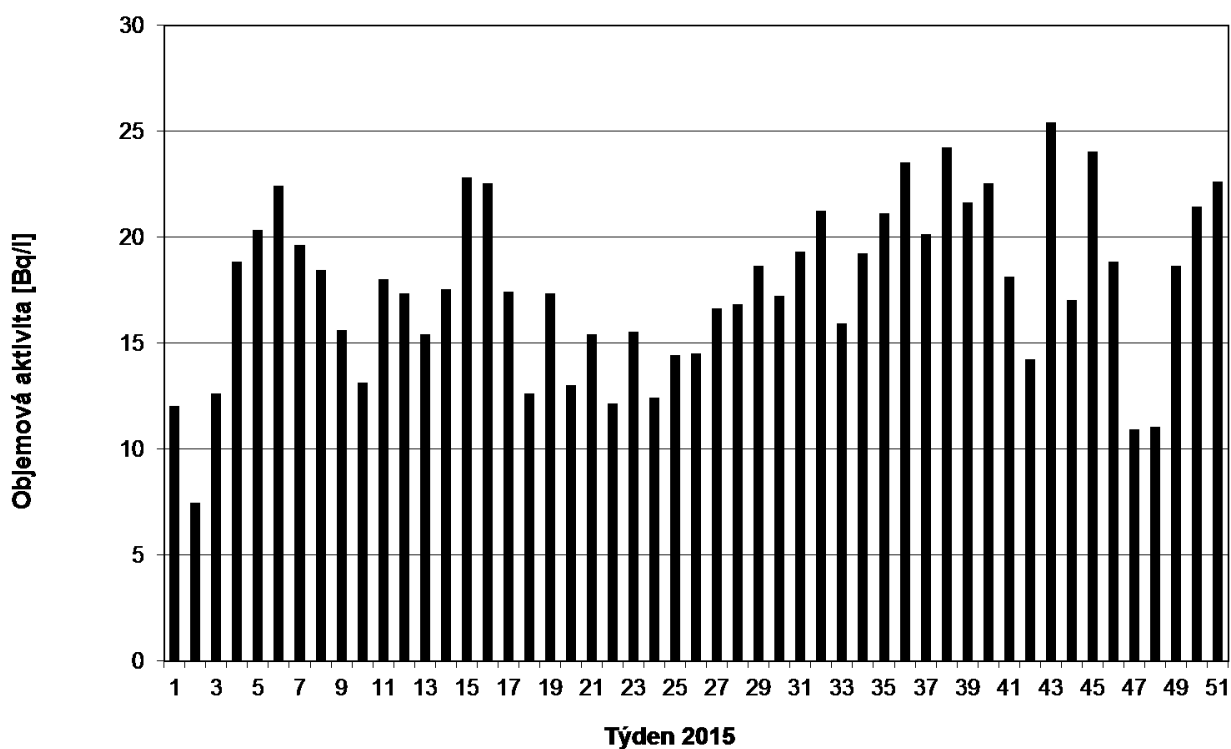
Obr. 11b Objemová aktivita ^3H ve srážkách od roku 2002, měsíční odběry – MMKO Praha (vzorkování a měření SÚRO Praha)



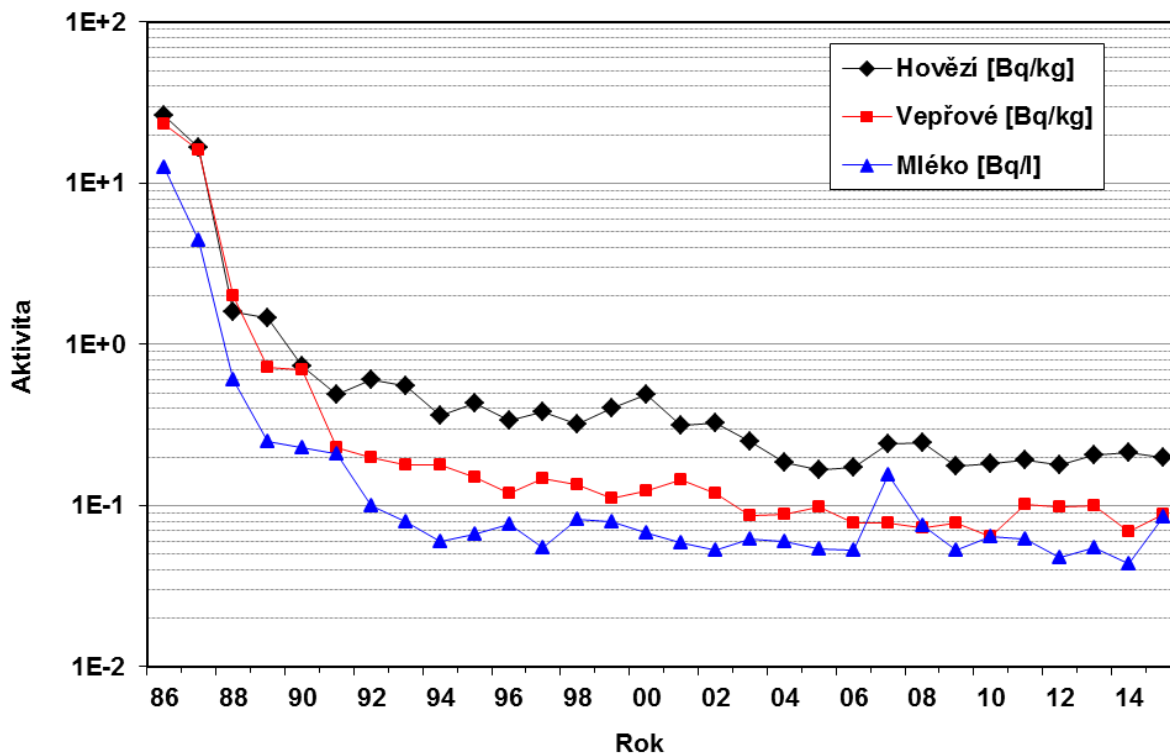
Obr. 12a Objemová aktivita ^3H v povrchové vodě za posledních pět let – povodí Labe – profil Hřensko (Labe) (vzorkování Povodí, s.p., měření VÚV TGM Praha)



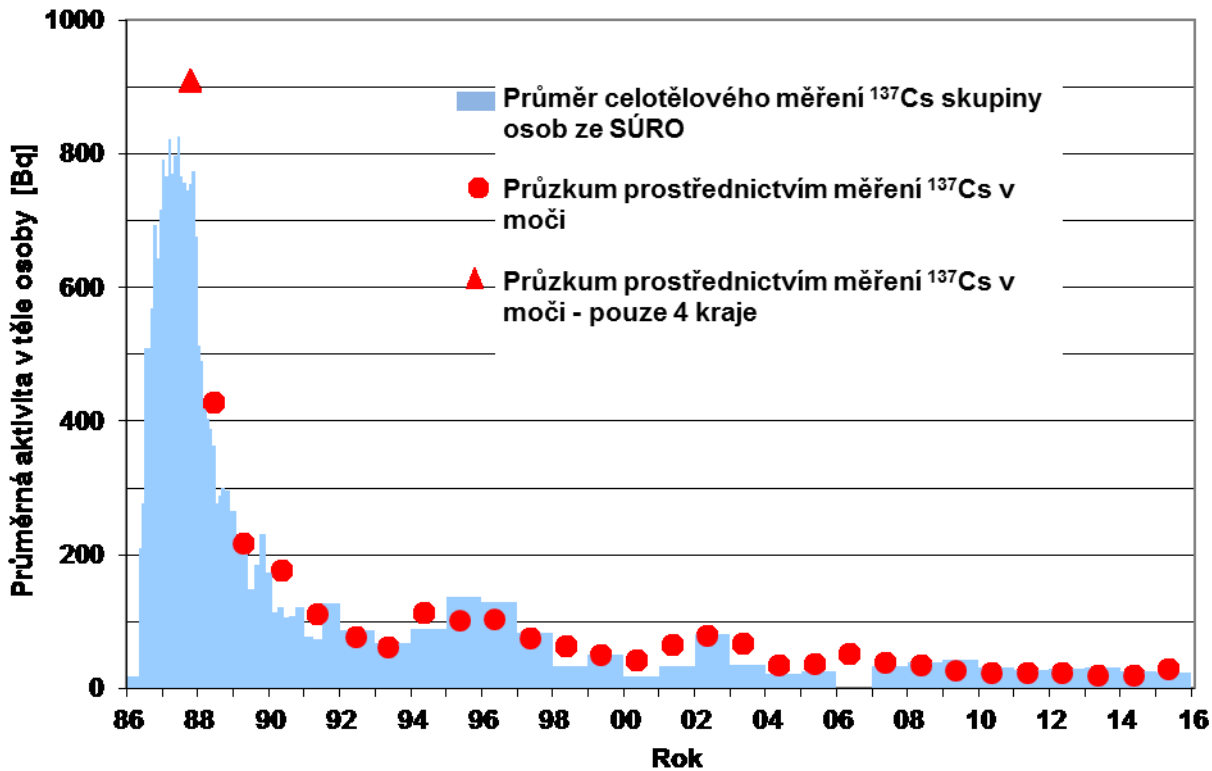
Obr. 12b Objemová aktivita ^3H v povrchové vodě za posledních pět let – povodí Morava – profil Lanžhot (Morava) (odběrové místo je Moravský Svatý Ján; vzorkování Povodí, s.p., měření VÚV TGM Praha)



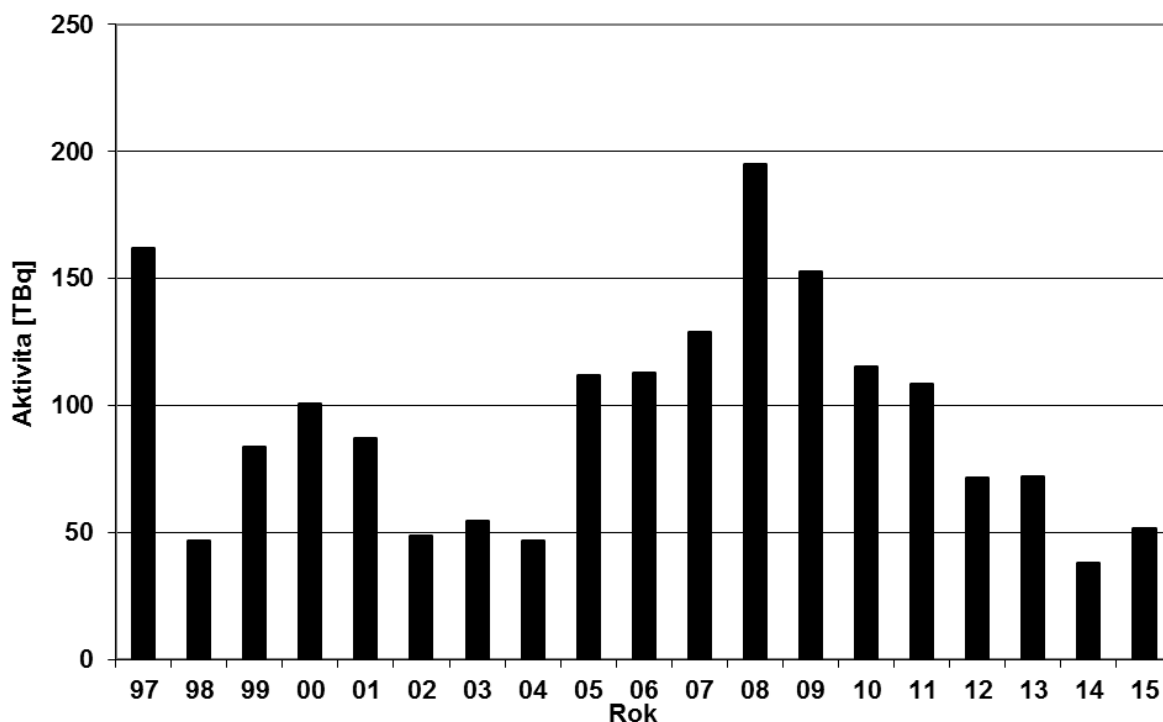
Obr. 12c Objemová aktivita ^3H v povrchové vodě v roce 2015 – povodí Vltava – profil Praha-Podolí (Vltava) (vzorkování Povodí, s.p., měření VÚV TGM Praha)



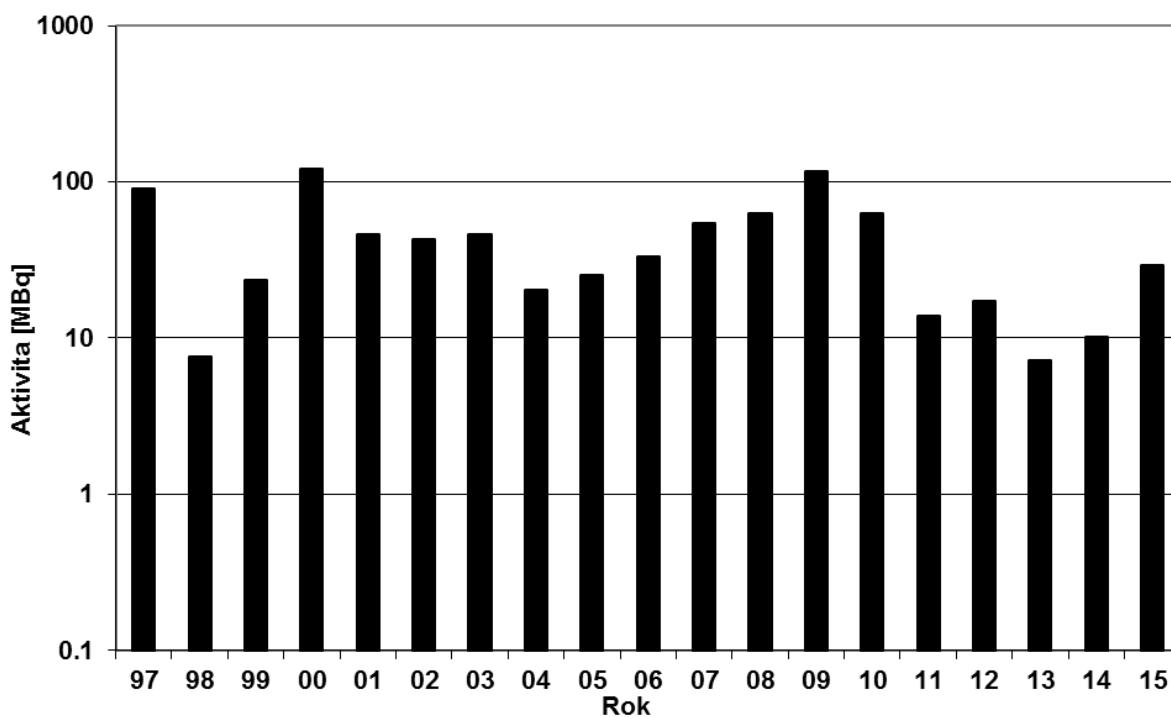
Obr. 13 Průměrné roční hmotnostní aktivity ^{137}Cs ve vepřovém a hovězím mase a objemové aktivity ^{137}Cs v mléce od roku 1986 (vzorkování a měření RC SÚJB, a SÚRO a od roku 2004 i SVÚ)



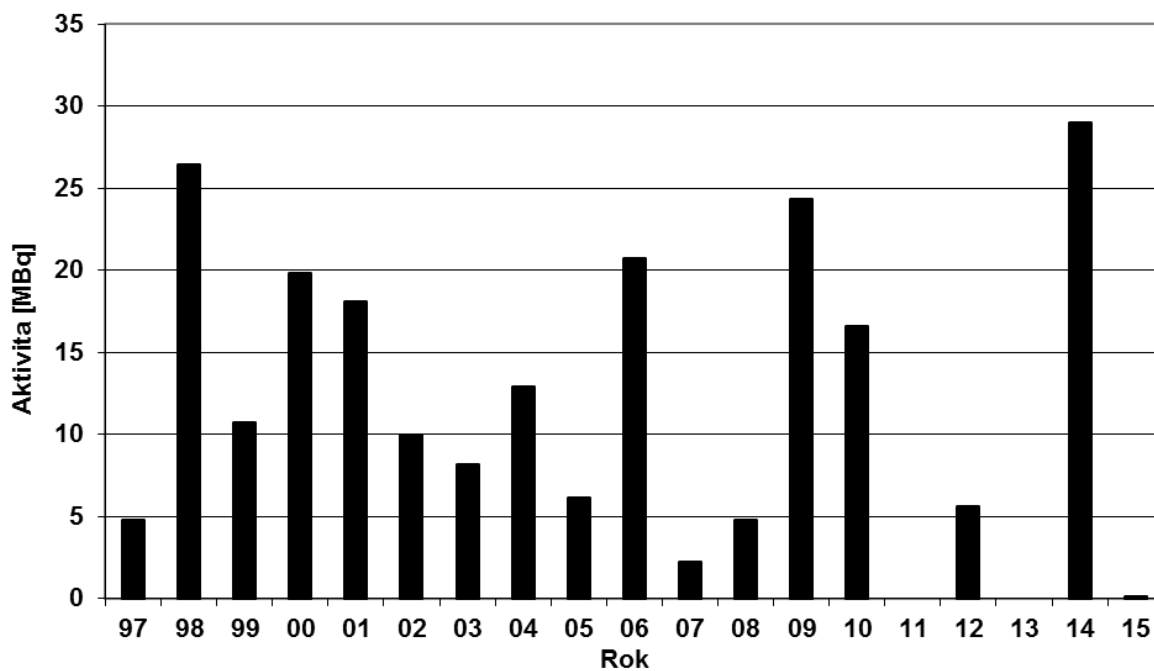
Obr. 14 Vývoj retence ^{137}Cs u českého obyvatelstva po černobylské havárii (vzorkování a měření RC SÚJB a SÚRO)



Obr. 15a Bilance plyných výpustí – vzácné plyny (^{41}Ar) z odběrů ve ventilačním komínu ÚJV Řež v období 1997 – 2015 (celkový roční limit aktivity je 1 000 [TBq]), (vzorkování a měření ÚJV Řež)

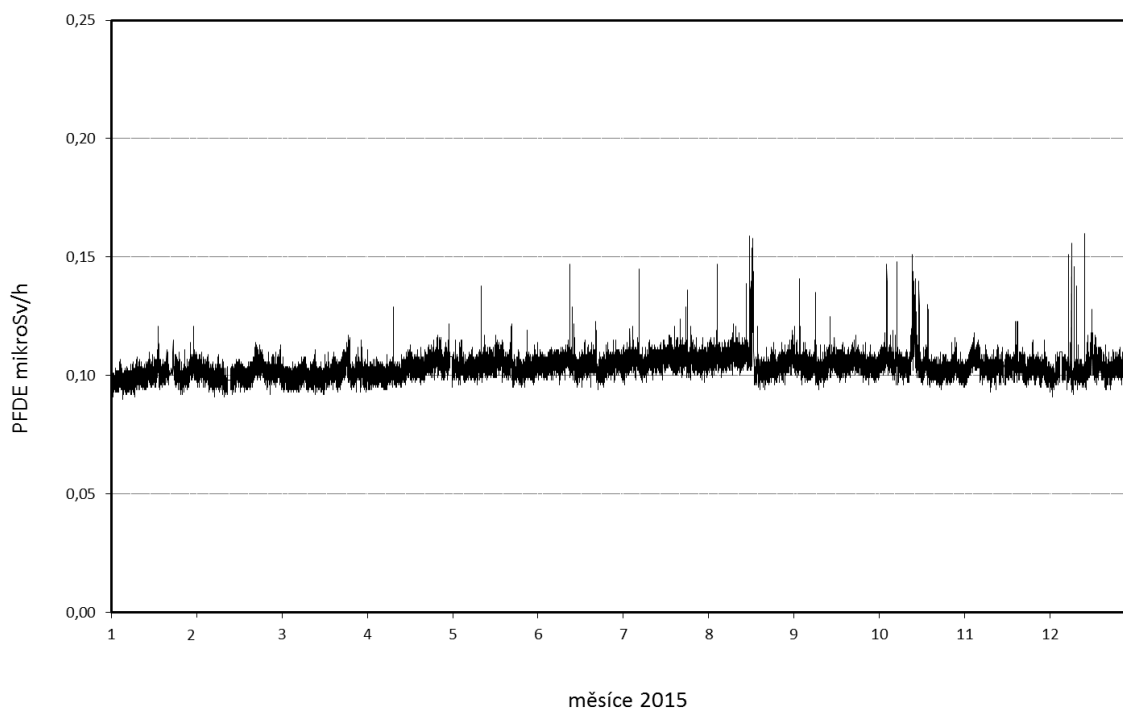


Obr. 15b Bilance plyných výpustí - ^{131}I z odběrů ve ventilačním komínu ÚJV Řež v období 1997 – 2015 (celkový roční limit aktivity je 20 000 [MBq]), (vzorkování a měření ÚJV Řež)

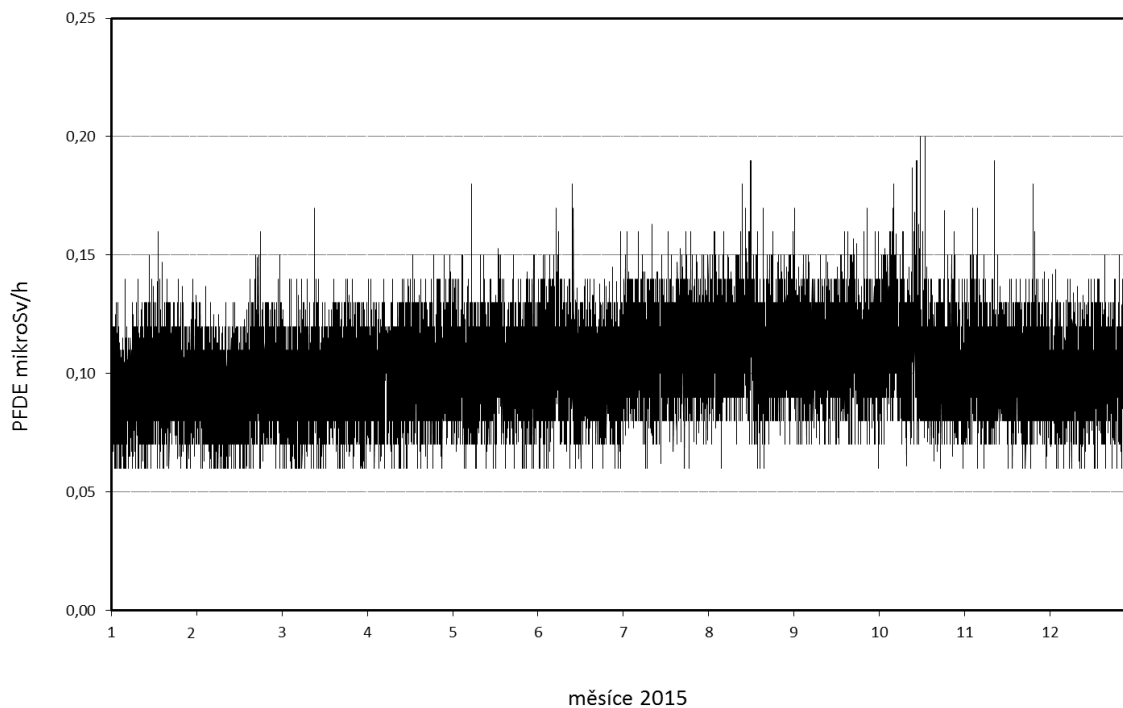


Poznámka: V roce 2011 a 2013 nebyla v provozu odparka na zpracování kapalných radioaktivních odpadů z důvodu rekonstrukce, nebyly tedy vypouštěny žádné kapalné výpustě.

Obr. 15c Bilance kapalných výpustí radionuklidů emitujících záření beta z odběrů v čistící stanici ÚJV Řež v období 1997 – 2015 - celková aktivita beta přepočtená na referenční radionuklid ^{137}Cs (celkový roční limit aktivity je 2200 MBq; vzorkování a měření ÚJV Řež)

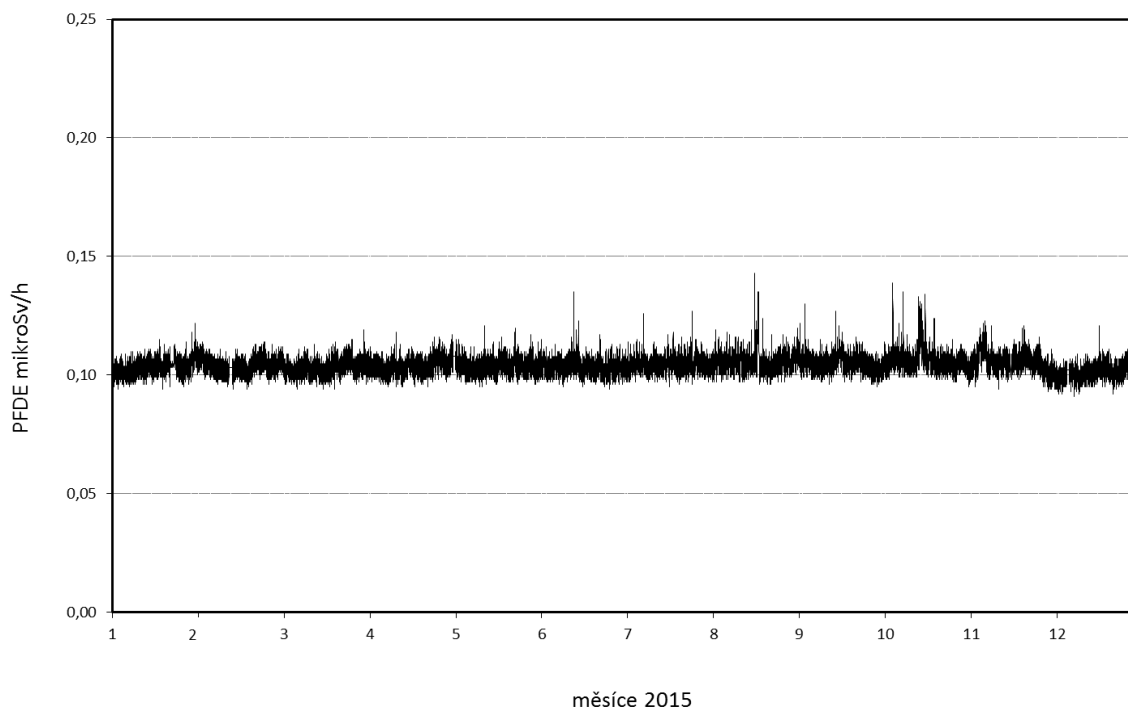


Obr. 16a Příkon fotonového dávkového ekvivalentu (PFDE) - SVZ TDS1 Dukovany (měřicí místo č. 16)

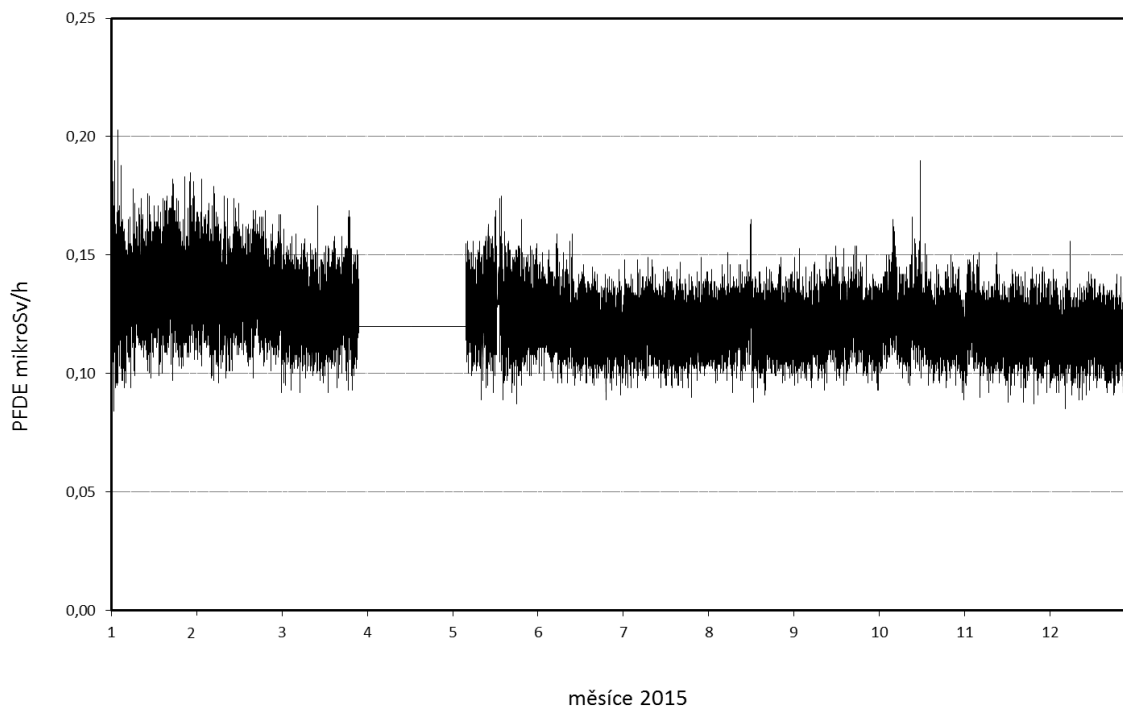


Poznámka: Rozdíl v rozpětí hodnot PFDE u obr. 16a a 16b resp. 16c a 16d je způsoben odlišným typem detektoru v Dukovanech a v Temelíně.

Obr. 16b Příkon fotonového dávkového ekvivalentu (PFDE) - SVZ TDS1 Temelín (měřicí místo č. 4)

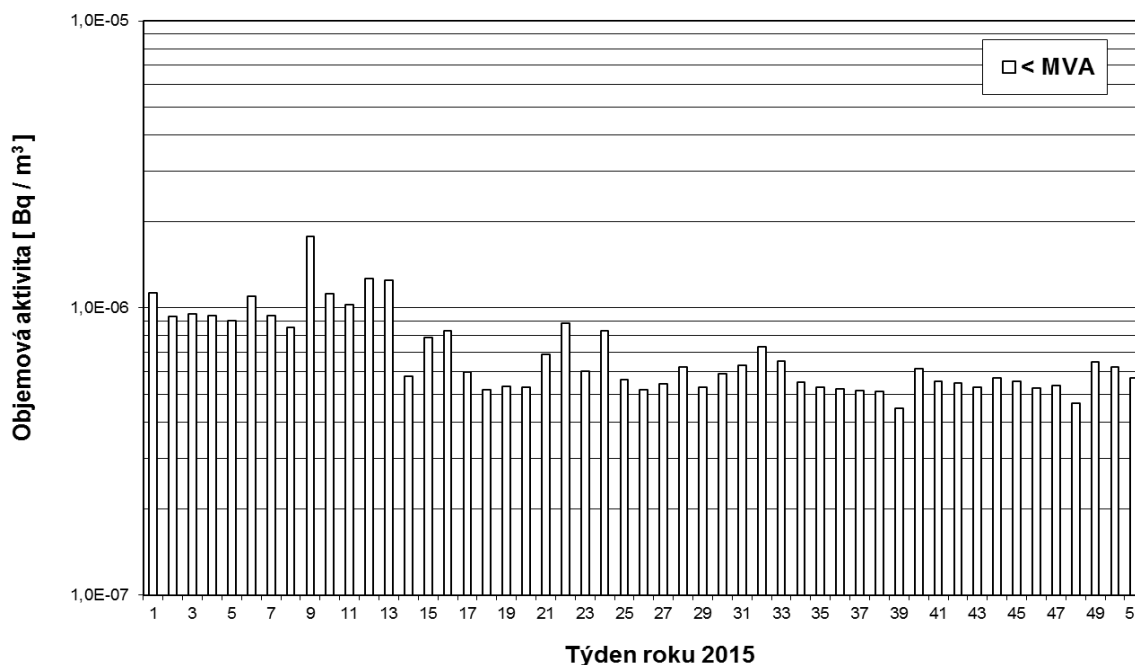


Obr. 16c Příkon fotonového dávkového ekvivalentu (PFDE) - SVZ TDS2 Rešice (měřicí místo JE Dukovany)

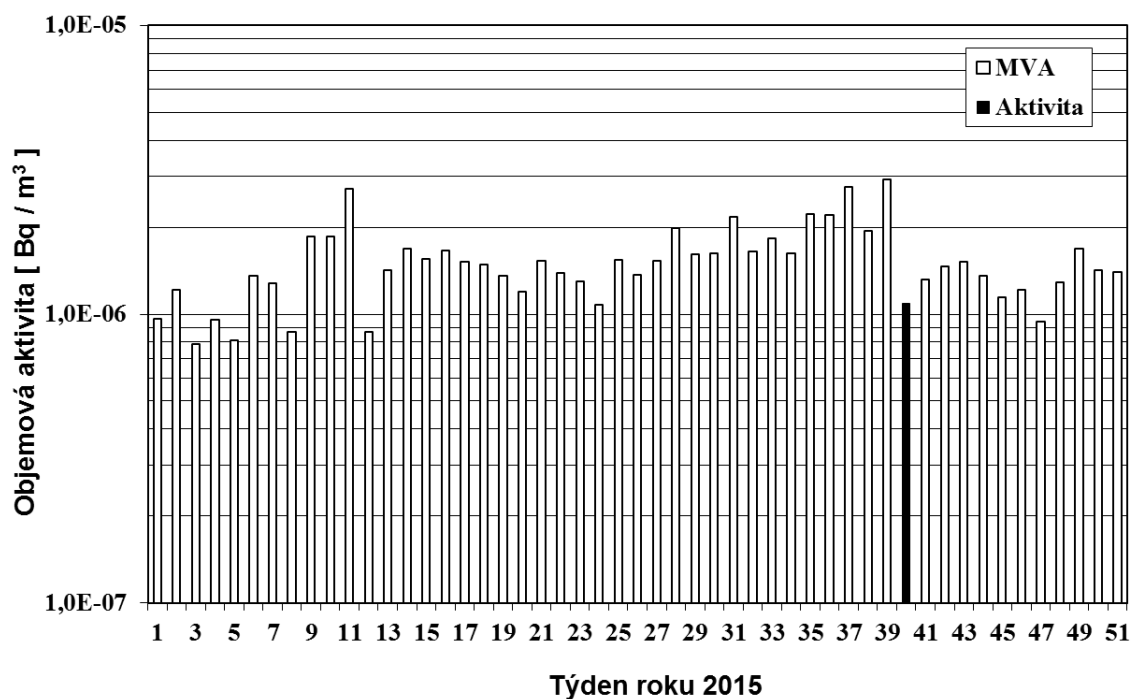


Poznámka: v době od 30.3 2015 do 7.5 2015 byla data dodávána jako konstanta 0,120 mikroSv/hod; jednalo se o chybu na straně ČEZ, která vznikla při procesu přechodu na novou technologii přenosů dat.

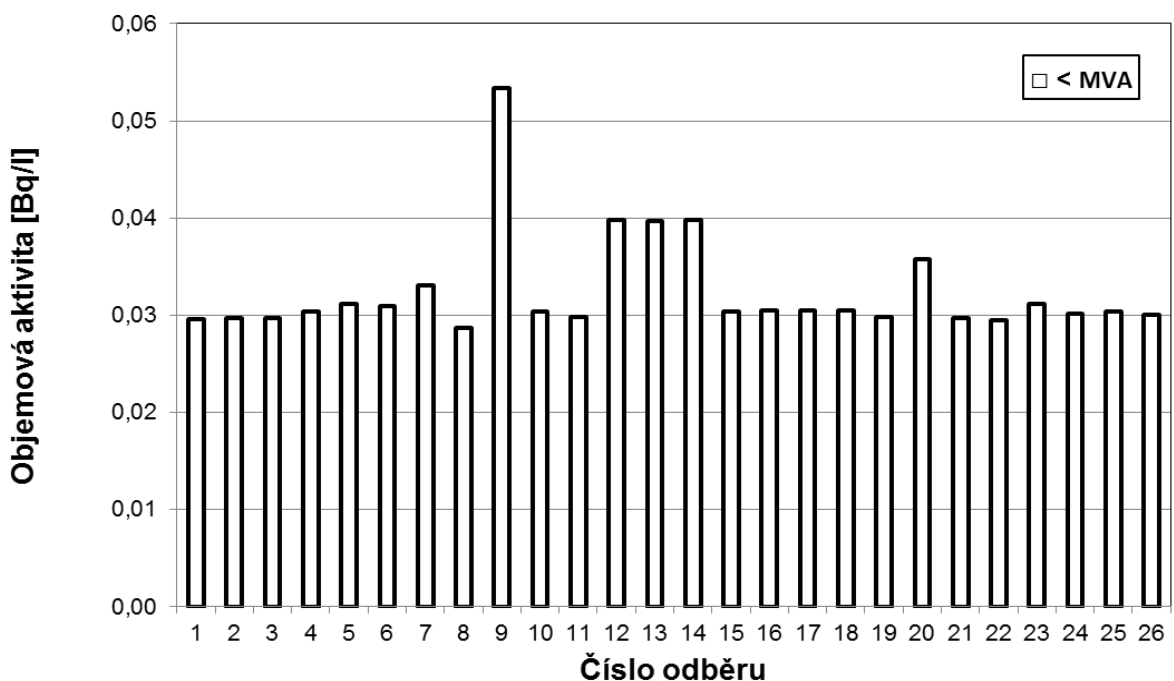
Obr. 16d Příkon fotonového dávkového ekvivalentu (PFDE) - SVZ TDS2 Litoradlice (měřicí místo JE Temelín)



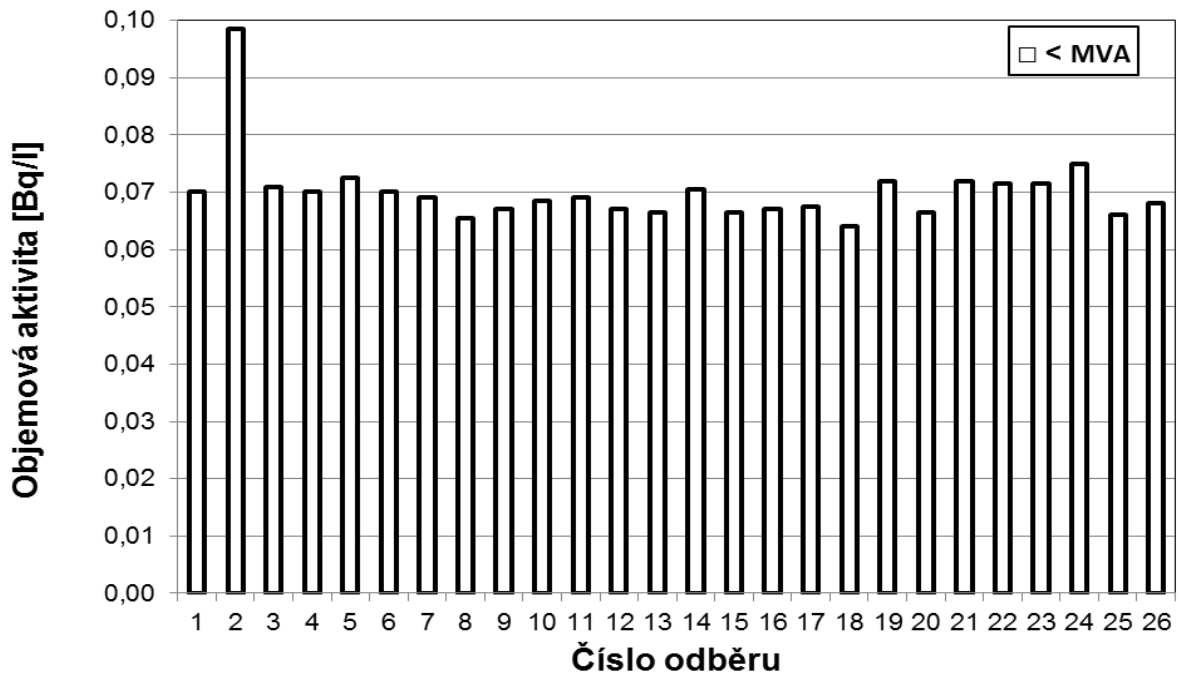
Obr. 17a Objemová aktivita ^{137}Cs ve vzdušném aerosolu v roce 2015 ve vzorcích odebraných na stanicích v okolí a v areálu JE Dukovany (odběr a měření LRKO JE Dukovany)



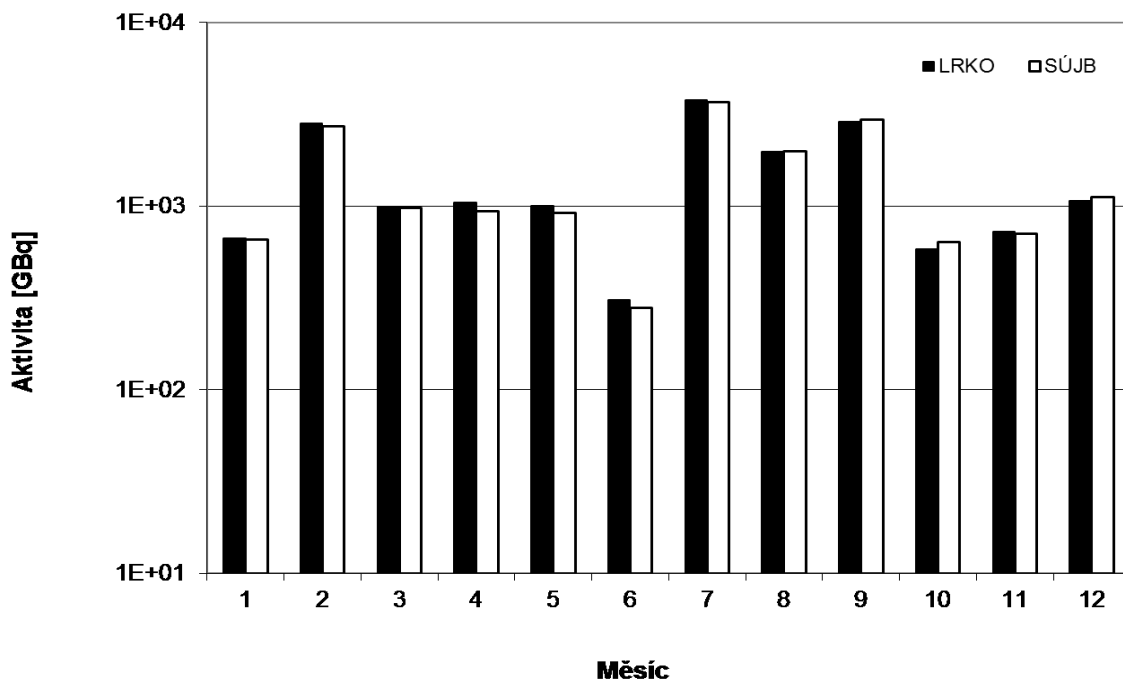
Obr. 17b Objemová aktivita ^{137}Cs ve vzdušném aerosolu v roce 2015 ve vzorcích odebraných na stanicích v okolí a v areálu JE Temelín (odběr a měření LRKO JE Temelín)



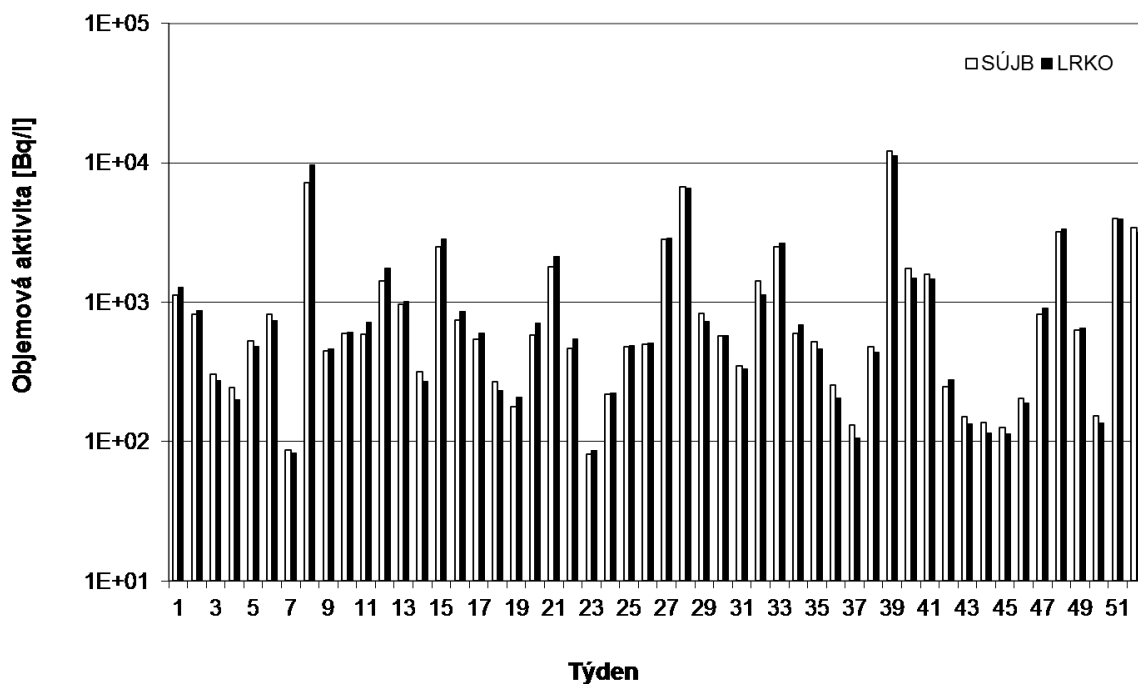
Obr. 18a Objemová aktivita ^{137}Cs v mléce v roce 2015 ve vzorcích odebraných v kravínách v ZHP JE Dukovany (odebírání se jednou za 14 dní; odběr a měření LRKO JE Dukovany)



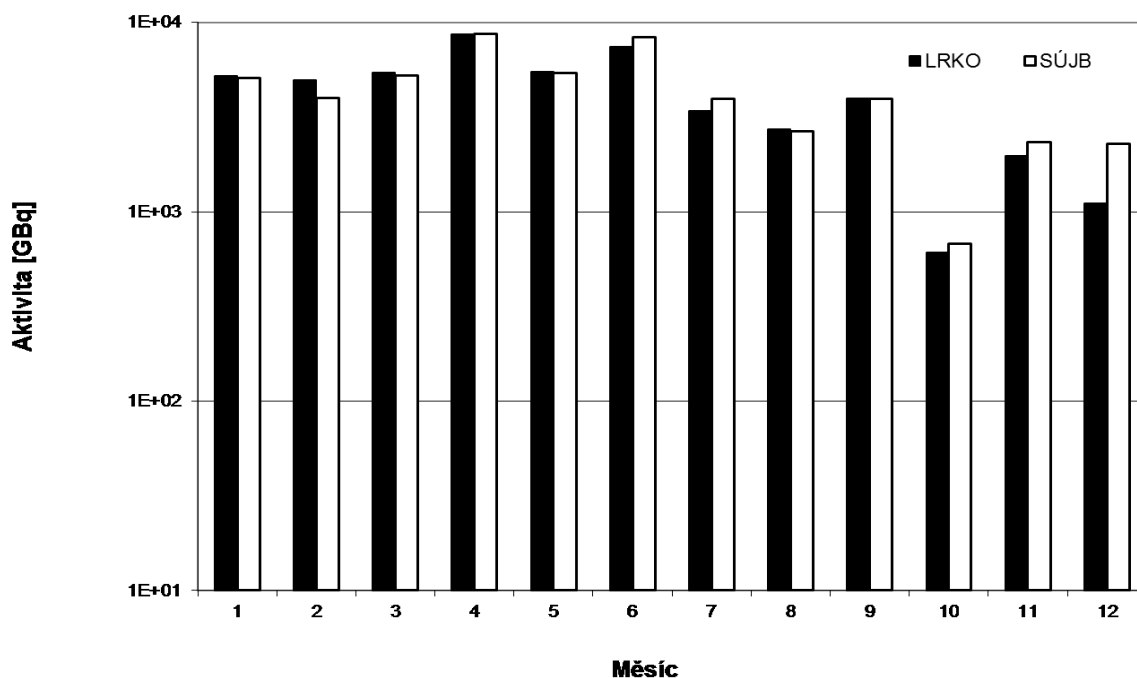
Obr. 18b Objemová aktivita ^{137}Cs v mléce v roce 2015 ve vzorcích odebraných v kravínech v ZHP JE Temelín (odebírání se jednou za 14 dní; odběr a měření LRKO JE Temelín)



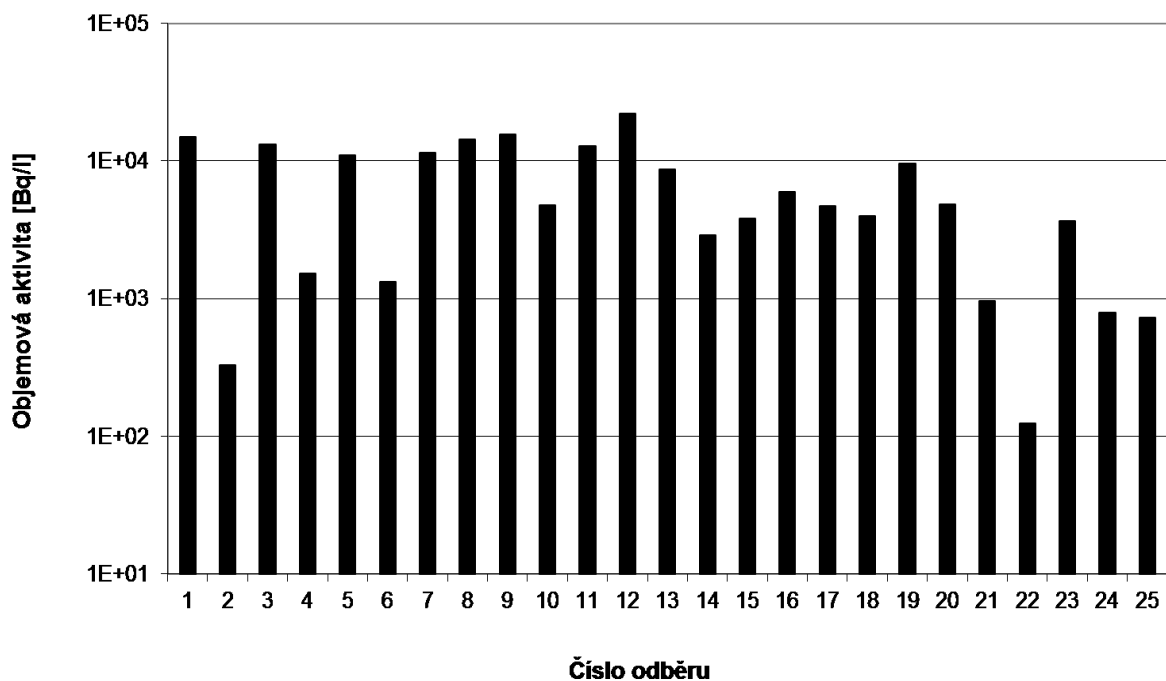
Obr. 19a Celková aktivita ^3H vypouštěná do vodoteče z JE Dukovany v roce 2015 (porovnání hodnot naměřených SÚJB a LRKO provozovatele, odběr JE Dukovany, měření RC SÚJB Brno a LRKO JE Dukovany)



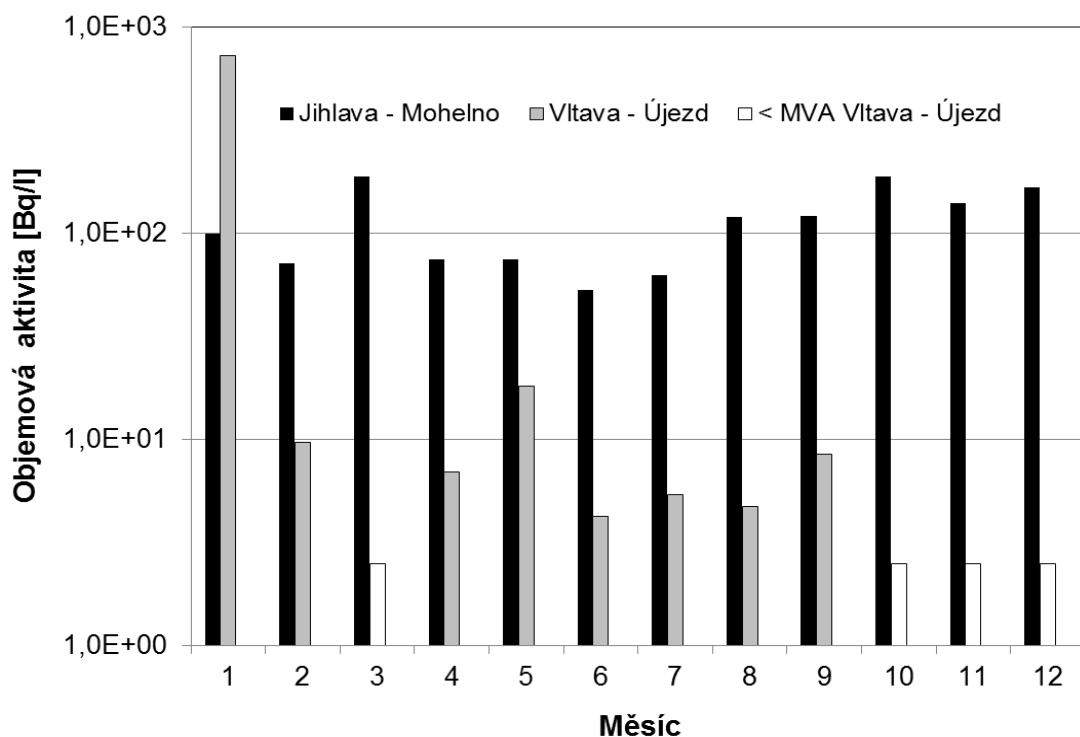
Obr. 19b Objemová aktivita ^3H v odpadním kanále JE Dukovany v roce 2015 (porovnání hodnot naměřených SÚJB a LRKO provozovatele, odběr JE Dukovany, měření RC SÚJB Brno a LRKO JE Dukovany)



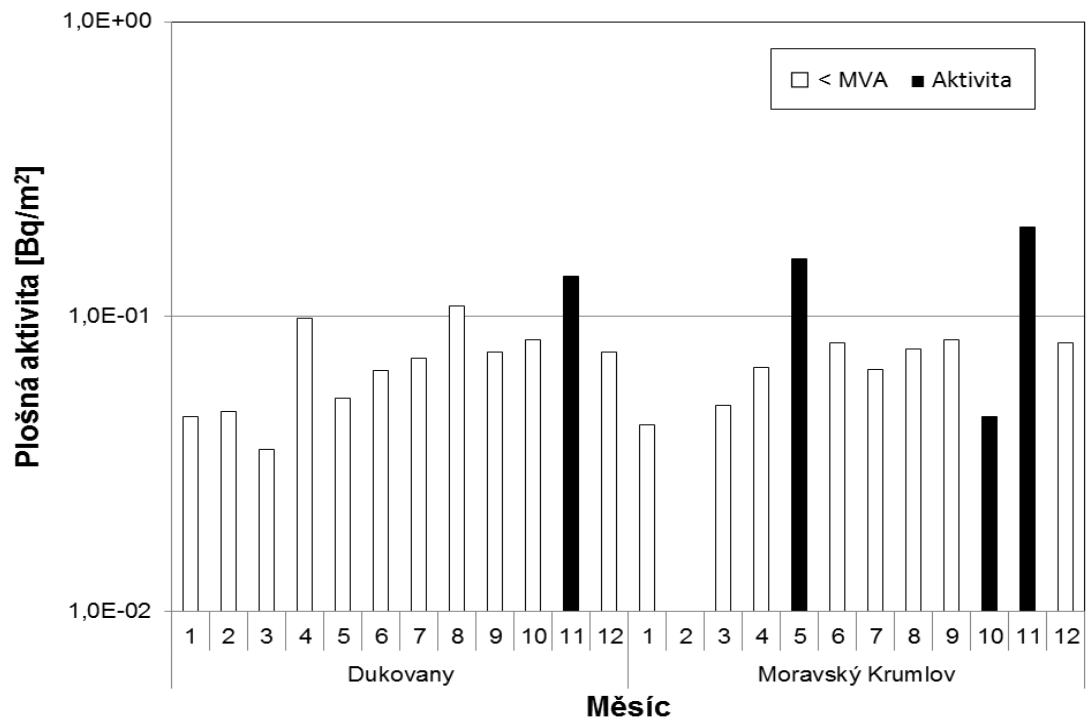
Obr. 20a Celková aktivita ^3H vypouštěná do vodoteče z JE Temelín v roce 2015 (porovnání hodnot naměřených SÚJB a LRKO provozovatele, odběr JE Temelín, měření RC SÚJB Brno a LRKO JE Temelín)



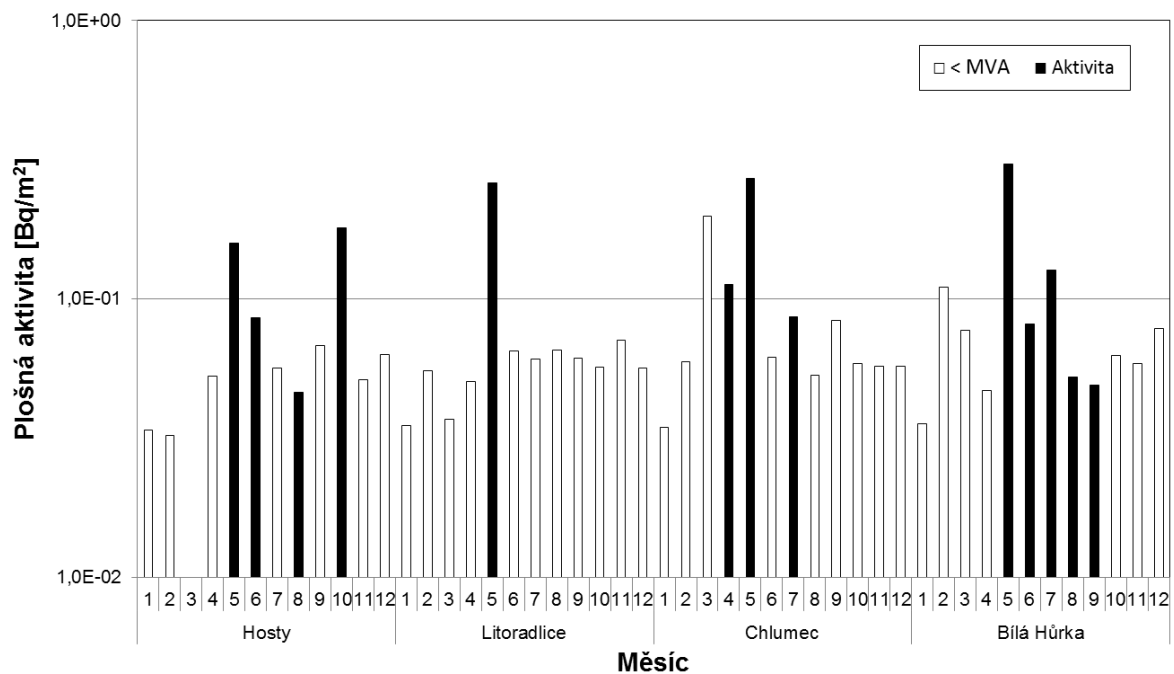
Obr. 20b Objemová aktivita ³H v odpadním kanále JE Temelín v roce 2015 (čtrnáctidenní slévané vzorky, odběr ETE, měření RC SÚJB Brno)



Obr. 21 Objemová aktivita ³H v řece Jihlavě (profil Mohelno) a v řece Vltavě (profil Újezd) v roce 2015 (odběr RC SÚJB Brno a RC SÚJB Č. Budějovice, měření RC SÚJB Brno)



Obr. 22a Plošná aktivita ¹³⁷Cs ve spadech v okolí JE Dukovany v roce 2015 (měsíční hodnoty; odběr RC SÚJB Brno, měření RC SÚJB České Budějovice)



Poznámka: Spad za březen z odběrového místa Hosty byl znehodnocen.

Obr. 22b Plošná aktivita ¹³⁷Cs ve spadech v okolí JE Temelín v roce 2015 (měsíční hodnoty v jednotlivých lokalitách; odběr a měření RC SÚJB Č. Budějovice)